

پیشنهاد موقعیت بهینه حفاری در کانسار مس پورفیری نارباغی شمالی ساوه براساس مدل‌سازی داده‌های ژئوفیزیکی

رضا احمدی^{۱*}، محمدرضا رضابور^۲

دریافت مقاله: ۹۸/۰۳/۱۹
پذیرش مقاله: ۹۸/۰۹/۱۷

چکیده

در پژوهش حاضر مدل‌سازی داده‌های ژئوفیزیکی مغناطیس سنگی، قطبش القایی و مقاومت ویژه در کانسار مس پورفیری نارباغی شمالی ساوه انجام شد. اطلاعات لیتوژوژی و عیارسنگی مس مغزه‌های حاصل از حفاری ۲۳ حلقه گمانه اکتشافی عمیق با متراث کلی ۲۶۲۵ متر بطور پراکنده در سطح محدوده نیز در دسترس می‌باشد. در گام نخست بر روی داده‌های مغناطیسی، پردازش‌های موردنیاز به منظور برجسته سازی بی‌هنجاری‌های عمیقی، با استفاده از نرم‌افزار Oasis montaj اعمال شد. سپس مدل‌سازی وارون داده‌های هفت پروفیل ژئوالکتریکی با استفاده از نرم‌افزار Res2dinv صورت گرفت و براساس تفسیر کیفی مقاطع ژئوفیزیکی بارپذیری، مقاومت ویژه و فاکتور فلزی پروفیل‌ها، موقعیت بهینه حفاری بر روی هر پروفیل پیشنهاد گردید. در ادامه نقشه تغییرات عمیقی ویژگی‌های ژئوالکتریکی منطقه برای داده‌های وارون سازی شده چهار عمق ۱۰، ۲۵، ۴۳ و ۷۸ متری ترسیم و تفسیر شد. سپس برای تجسم تغییرات فضایی ویژگی‌های الکتریکی منطقه و پیشنهاد مناسب‌ترین موقعيت عملیات حفاری، مدل شبه سه‌بعدی تغییرات مقاومت ویژه، بارپذیری و فاکتور فلزی محدوده کانسار بعد از مدل‌سازی وارون، با استفاده از نرم‌افزار Rockworks ترسیم شد. ترسیم مقطع ماده معنی منطبق بر پروفیل‌های ژئوفیزیکی با استفاده از داده‌های عیارسنگی گمانه‌ها نشان داد که حفاری برخی از گمانه‌های منطبق بر پروفیل‌ها و غیرمبنی بر نتایج عملیات ژئوفیزیکی، بدون هیچ‌گونه منطق، هدف و طراحی درستی صورت گرفته و فاقد ماده معنی نیز می‌باشند. همچنین بررسی میزان تطابق کیفی نتایج عملیات برداشت ژئوالکتریک با داده‌های عیارسنگی گمانه‌های حاوی ماده معنی منطبق بر پروفیل‌های ژئوفیزیک، به طورکلی تطابق کیفی متوسطی را بین این داده‌ها نشان داد.

کلید واژه‌ها: کانسار مس نارباغی شمالی ساوه، مغناطیس سنگی، مقاومت ویژه (Rs)، قطبش القایی (IP)، مدل‌سازی ژئوفیزیکی

۱. عضو هیات علمی گروه مهندسی معدن، دانشگاه صنعتی اراک Rezahmadi@gmail.com

۲. دانش آموخته کارشناسی ارشد مهندسی اکتشاف معدن، دانشگاه صنعتی اراک، اراک

* مسئول مکاتبات

عملیات حفاری پیشنهاد شده است. همچنین عملیات ژئوفیزیکی انجام شده با استفاده از داده های عیارسنجدی گمانه های اکتشافی منطبق بر پروفیل های ژئوفیزیکی، بصورت کیفی اعتبارسنجدی شده است.

در ارتباط با مدل سازی های ژئوفیزیکی و زمین شناسی کانسارها و اعتبارسنجدی نتایج عملیات اکتشاف ژئوفیزیکی طی سال های اخیر، تحقیقات چندی صورت گرفته که به چند مورد از مهم ترین آنها اشاره می شود. هالیدی و کوک (Holliday and Cooke, 2007) در مورد پیشرفت مدل های زمین شناسی و روش های اکتشاف کانسارهای مس- طلای پورفیری، با توجه به سابقه کشف و شیوه های اکتشافی طی پانزده سال اخیر پرداخته اند که در نتیجه، برداشت نقاط حفاری با استفاده از حفریات زمین شناسی، ژئوشیمیابی و روش های ژئوفیزیکی در دستیابی به موفقیت های اکتشافی، اهمیت زیادی دارد. روش مغناطیس سنجدی در محیط پورفیری، هم در مقیاس محلی و هم در مقیاس ناحیه ای، به دلیل احتمال وجود مقادیر مختلف مگنتیت در کانی سازی، دگرسانی، نفوذ و تجمع روی سنگ دیواره، کاربرد زیادی دارد. بنابراین استفاده از داده های مغناطیسی دقیق و روش قطبش القایی در اکتشافات مهم اخیر، نقش حیاتی داشته است. احمدی و همکاران (۱۳۸۶) میزان انطباق شبه مقاطع ژئوفیزیکی (و فاکتور فلزی) با مقاطع ماده معدنی (عيار مس) را برای کانسار مس علی آباد واقع در فاصله ۵۵ کیلومتری جنوب غرب شهرستان یزد، ابتدا به طور کیفی مورد بررسی قرار دادند. سپس میزان همبستگی داده های ژئوفیزیکی، قبل و بعد از مدل سازی وارون هموار با نتایج عیارسنجدی عملیات حفاری، به طور کمی برآورد شده است. براساس نتایج به دست آمده میزان همبستگی داده های ژئوفیزیکی با داده های عیارسنجدی مس، بسیار کم تا کم می باشد که دلیل اصلی آن، پیچیدگی ذاتی خود کانسار و بالا بودن سطح نوشه در منطقه است. بری و همکاران (2012) از روش های قطبش القایی در حوزه زمان و مقاومت ویژه الکتریکی جریان مستقیم برای اکتشاف و تعیین نحوه توزیع و گسترش زیر سطحی آهن در

۱. مقدمه

امروزه جایگاه، نقش و اهمیت مواد معدنی بر هیچ کس پوشیده نیست و نیاز روزافرون بشر سبب شده که روش ها و تکنیک های مختلفی برای پیجویی و اکتشاف مواد معدنی فلزی ارزشمند همانند مس به کار گرفته شود. بدون شک مواد معدنی فلزی نسبت به سایر مواد معدنی، از اهمیت بیشتری برخوردار بوده و روش های اکتشاف آنها نیز از پیچیدگی های بیشتری برخوردار است. کانسارهای فلزی به ویژه کانسارهای مس از نظر زمین شناسی، ساختاری و ژئو دارای پیچیدگی های زیادی هستند. اغلب کانسارهای مس از نوع پراکنده یا افشار (Disseminated) و پراکنده درزه و شکاف ها و فضاهای خالی (رگه و رگچه ای) بوده و در نتیجه دارای گسترش زیاد و عیار پایین هستند. بنابراین اکتشاف این نوع کانسارها علاوه بر آنکه قدری مشکل است، زمان بر و پرهزینه نیز می باشد. برای اکتشاف کانسارهای فلزی همانند مس پورفیری، باید از چند روش اکتشافی مختلف استفاده کرده و در نهایت از تلفیق آنها، پتانسیل های انباستگی ماده معدنی، استنتاج شود. بکارگیری روش های ژئوفیزیکی مناسب، گام نخست و تصمیم بهینه در راستای اکتشاف این نوع کانسارها است. روش های ژئوفیزیکی مغناطیس سنجدی (Magnetic survey)، مقاومت ویژه (Rs) و قطبش القایی (Induced Polarization (IP)) مفید ترین روش ها برای اکتشاف بخش های پنهان کانی سازی، در این نوع کانسارها هستند (نوروزی و غلامی، ۱۳۸۴؛ کلاغری، ۱۳۸۹؛ Keary, 2002؛ Reynolds, 2003؛ Milsom, 2011). در سایه بکارگیری این روش ها و تلفیق نتایج آنها با یکدیگر می توان محدوده و گسترش سطحی و عمقی کانسار و در نتیجه نحوه گسترش فضایی آن را تعیین نمود. این گام اساسی منجر به پیشنهاد موقعیت بهینه حفاری و شناخت کامل کانسار جهت دست یابی به ذخیره کانه می باشد. در پژوهش حاضر مطالعات ژئوفیزیک اکتشافی کانسار مس پورفیری ناریابی شمالی واقع در نزدیکی شهر ساوه با استفاده از روش های ژئوفیزیکی اشاره شده، صورت گرفته و براساس نتایج آنها موقعیت های بهینه

پایین ماده معدنی و بالا بودن سطح نوشه در داده‌های ژئوفیزیکی منطقه مورد مطالعه، تشخیص داده شد. عادلپور و همکاران (۱۳۹۵) برای تعیین مناطق کانی‌سازی در کانسار مس گرماب واقع در خراسان جنوبی، از پردازش داده‌های قطبش القایی و مقاومت ویژه الکتریکی استفاده کردند. بدین منظور با تلفیق نتایج به دست آمده از بررسی‌های زمین‌شناسی، زمین‌شیمیایی سطحی و زمین‌فیزیک، ضمن تکمیل بررسی‌های یادشده، با استفاده از روش‌های زمین‌فیزیک اکتشافی، موقعیت مکانی زون کانی‌سازی کانسار تعیین گردید و از شبه مقاطع قطبش القایی و مدل‌سازی وارون هموار برای تعیین محل احتمالی، گسترش جانبی و قائم کانی‌سازی‌های زیرسطحی استفاده شد.

۲. معرفی منطقه مورد مطالعه

محدوده اکتشافی نارباغی شمالی در شمال شرق استان مرکزی، ۲۶ کیلومتری شمال شرق شهرستان ساوه و در ورقه آزادراه تهران-ساوه میسر است و پس از گذر از عوارضی ساوه (۱۰ کیلومتری شهرستان ساوه) و عبور از زیرگذر شهرک صنعتی، راه خاکی به طول ۱۵ کیلومتر به سمت روستای عباسآباد نارباغی وجود دارد که امکان دسترسی به بخش‌های مختلف محدوده را ممکن می‌سازد. محدوده مورد مطالعه از نظر ساختاری در پهنه ایران مرکزی و کمان مأگمایی ارومیه-دختر و بلوك قم-ساوه این کمان قرار دارد و بر حسب شناخت، این نوار یکی از پرتکاپوترین و غنی‌ترین پهنه‌های ساختاری از دید زمین‌شناسی اقتصادی به ویژه از نظر وجود کانسارهای فلزی مانند مس می‌باشد. در شکل ۱ نقشه زمین‌شناسی با مقیاس ۱:۱۰۰۰ محدوده اکتشافی با مساحت هشتصد هزار متر مربع نشان داده شده است که بر پایه نقشه توپوگرافی ۱:۱۰۰۰ محدوده، تهیه شده و موقعیت ترانشه‌ها و گمانه‌های اکتشافی منطقه نیز بر روی آن نمایش داده شده‌اند. براساس برداشت‌های صحرایی صورت گرفته در محدوده اکتشافی، قدیمی‌ترین واحد سنگی، واحد آندزیتی است که در

پاگه (Pagoh) مالزی استفاده کردند. تصویربرداری (مدل) و روش تجزیه و تحلیل آماری مورد استفاده در این مطالعه، اعتبار و قابلیت اعتماد نتایج ژئوفیزیک را در زمینه تصویربرداری زیرسطحی افزایش داد. سعد و همکاران (Saad et al., 2012) از روش‌های قطبش القایی و مقاومت ویژه دو بعدی برای اکتشاف و ارزیابی پتانسیل زیرسطحی سنگ آهن در شمال شبه‌جزیره مالزی استفاده کردند. بررسی نتایج نشان داده که در زیر سطح منطقه، کوهرفت‌های (Colluvium) ضخیمی با مقاومت ویژه ۳۰۰-۱۰۰ اهم‌متر و بارپذیری ۳-۰/۱ میلی‌ثانیه وجود دارد و همچنین کوهرفت‌ها تا عمق ۱۵۰ متر نیز قابل انتظار هستند. یعقوبی‌تبار و همکاران (۱۳۹۲) بر روی داده‌های ژئوفیزیکی برداشت شده با روش‌های قطبش القایی و مقاومت ویژه در منطقه ابراهیم آباد میامی، مدل‌سازی وارون دو بعدی هموار انجام دادند که نتایج حاصل از آنها به کمک اطلاعات زمین‌شناسی، منجر به شناسایی زون‌های کانی‌سازی مس و همچنین ساختارهای گسله در منطقه شد. علی‌لو و همکاران (Ali lou et al., 2014) از ترکیب روش‌های ژئوفیزیکی مختلف شامل قطبش القایی، مقاومت ویژه و مغناطیس‌سنجدی برای بررسی گسترش انواع مختلف مواد معدنی در رسوبات چندفلزی (پلی‌متال) منطقه حلب (زنجان) حاوی عناصر مختلفی مانند سرب، روی، آهن، مس و نقره استفاده کردند. نتایج به دست آمده نشان داده که اگرچه بین داده‌های ژئوالکتریک و مغناطیس‌سنجدی در این مورد انطباق زیادی وجود دارد ولی در مجموع روش‌های ژئوفیزیکی مورد استفاده برای اکتشاف کانسار چندفلزی مورد مطالعه، از درجه اطمینان اندکی برخوردارند. احمدی و همکاران (۱۳۹۴) در کانسار مس دره زرشک واقع در جنوب غرب شهرستان یزد، میزان انطباق شبه مقاطع ژئوفیزیکی (فاکتورفلزی) بر مقاطع اکتشافی (عيارسنجدی مس) را ابتدا به طور کیفی مورد بررسی قرار دادند. سپس میزان همبستگی داده‌های ژئوفیزیکی، قبل و بعد از مدل‌سازی وارون هموار، با نتایج عيارسنجدی عملیات حفاری بطور کمی برآورد شده است. براساس نتایج به دست آمده، پیچیدگی ذاتی زمین‌شناسی خود کانسار، عيار نسبتاً

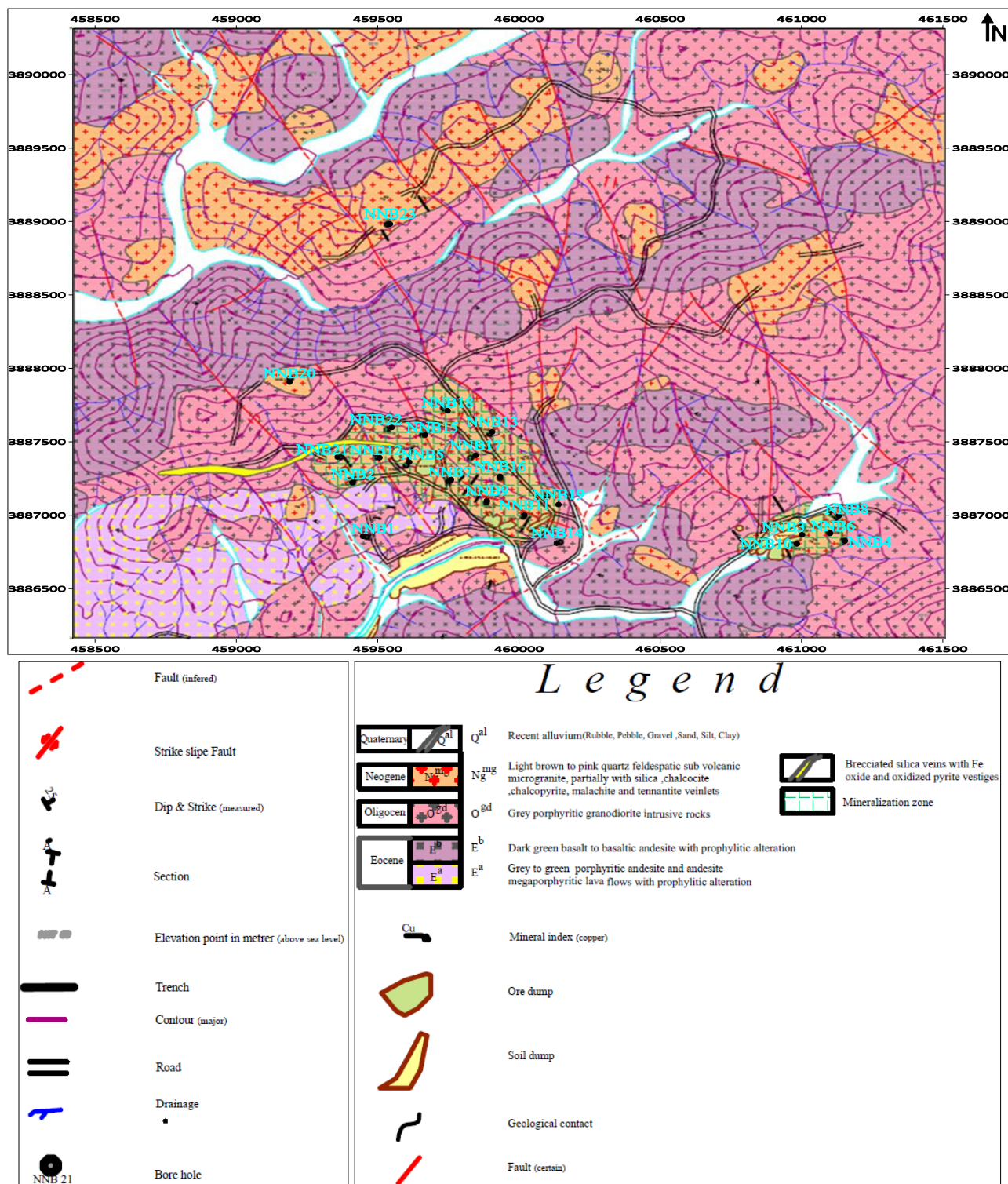
(سوپرژن) تقسیم کرد. دگرسانی فیلیک در بخش‌های شامل کانی‌زایی در داخل توده نفوذی دیده می‌شود که به وسیله جایگزینی سریسیت و کوارتز به جای بیشتر کانی‌های سیلیکاتی سنگ‌ساز مشخص می‌شود. دگرسانی سوپرژن باعث تبدیل بخشی از کانی‌های سولفیدی به کانی‌های کربناتی و نیز اکسیدها و هیدروکسیدهای آهن به همراه جاروسیت شده و دگرسانی آرژیلیک ناشی از فرآیندهای سوپرژن قدری بر روی دگرسانی فیلیک تاثیر گذاشته است. بخش مهمی از دگرسانی آرژیلیک در سطح را می‌توان حاصل دگرسانی سوپرژن دانست که به وسیله وجود اکسیدها و هیدروکسیدهای آهن و نیز جاروسیت تایید می‌شود. گسترده‌ترین دگرسانی موجود در محدوده اکتشافی دگرسانی پروپیلیتیک است که به صورت جانبی دگرسانی‌های دیگر را دربر می‌گیرد و به وسیله کانی‌های کلریت و اپیدوت مشخص می‌شود. دگرسانی پروپیلیتیک آخرین فاز دگرسانی در محدوده اکتشافی است که بیشترین تاثیر را بر روی آندزیت گذاشته است، به گونه‌ای که رنگ سبز شانص آن از دور کاملاً مشخص است. بخشی از این دگرسانی را می‌توان ناشی از فرآیندهای سوپرژن دانست. بطورکلی کانی‌سازی بیشتر به صورت ملاکیت، آزوریت، پیریت و کمتر کالکوپیریت و کالکوسیت است که به دو صورت پراکنده یا افshan و پرکننده شکستگی‌ها (رگه و رگچه‌ای) در سنگ میزان مشاهده می‌شود و تا حدودی تحت دگرسانی آرژیلیک و سریسیتیک قرار گرفته است (پیچاب کانسار، ۱۳۹۴).

۳. فعالیت‌های اکتشافی انجام شده در منطقه

مهم ترین فعالیت‌های اکتشافی در محدوده کانسار مس ناریاغی شمالی شامل تهیه نقشه‌های توپوگرافی و زمین‌شناسی با مقیاس ۱:۱۰۰۰، عملیات برداشت ژئوفیزیکی

جنوب و جنوب غربی محدوده گسترش دارد و عموماً با توپوگرافی تپه‌ماهوری دیده می‌شود (پیچاب کانسار، ۱۳۹۴). این واحد شامل آندزیت پورفیری تا مگاپورفیری با رنگ خاکستری تیره تا متایل به سبز دارای بافت نهان بلورین (Aphanitic) بوده که تحت تاثیر دگرسانی کلریتی و پروپیلیتیک قرار گرفته و کانه‌زایی خاصی در آن تشکیل نشده است. واحد بازالت- آندزیت بازالتی (E^b) در منطقه گسترش زیادی داشته و در مرکز، جنوب و شمال محدوده با رنگ خاکستری تیره و سبز تیره رخمنون متمایزی را نسبت به سنگ‌های اطراف نشان می‌دهد. این سنگ‌ها بیشتر به وسیله توده نفوذی گرانودیوریتی و میکروگرانیتی در برگرفته شده و دارای دگرسانی پروپیلیتیک هستند. مهم‌ترین و بزرگ‌ترین توده نفوذی در محدوده اکتشافی شمال ناریاغی دارای ترکیبی در حد گرانیت- گرانودیوریت پورفیری است که با رنگ خاکستری خود به خوبی از واحدهای دربرگیرنده به ویژه آندزیت متمایز است و در نقشه زمین‌شناسی با واحد O^{gd} (Ng^{mg}) شناخته می‌شود. در بخش شمالی و مرکزی محدوده، توده‌های نفوذی میکروگرانیتی کوارتز- فلدوپیاتی زرد تا قهوه‌ای روشن و صورتی رنگ دیده می‌شود. این توده‌های نفوذی در بخش‌هایی حاوی رگچه‌های سیلیسی، کالکوپیریت، پیریت، کالکوسیت، ملاکیت و تنانیت می‌باشند. بیشتر فعالیت‌های اکتشافی از جمله حفاری‌های عمیق در این توده‌های نفوذی انجام گرفته است.

توده نفوذی مونزوگرانیتی- کوارتز‌مونزو‌دیوریتی میزان اصلی کانی‌زایی در محدوده اکتشافی شمال ناریاغی است. این توده در طی نفوذ باعث چرخش سیال‌های گرمابی و نیز گرم شدن بخش‌هایی از سیال‌های جوی در منطقه شده است. چرخش سیال‌های گرمابی علاوه بر تامین عناصر کانه‌ساز، باعث دگرسانی نیز شده است. بطورکلی دگرسانی در محدوده شمال ناریاغی را می‌توان به دو گروه اولیه (هیپوژن) و ثانویه



شکل ۱. نقشه زمین شناسی ۱:۱۰۰۰ محدوده کانسار نارباغی شمالی همراه با نمایش موقعیت گمانه‌ها و ترانشه‌های اکتشافی (برگرفته از پیچاب کانسار، ۱۳۹۴).

بنابراین هدف از انجام برداشت‌های مغناطیسی در اکتشاف کانسارهای مس پوروفیری و بویزه کانسار مس پوروفیری ناریاغی شمالی ساوه در پژوهش حاضر، آشکارسازی و تعیین محدوده زون دگرسانی پتاسیک و دیگر زون‌های دگرسان شده است که در ارتباط با زون کانه زایی می‌باشند. زون کوارتز-سریسیت-پیریت (زون فیلیک یا سریسیتیک) را به دلیل تمرکز پیریت و گسترش نسبتاً زیاد آن، با استفاده از روش IP می‌توان شناسایی کرد. از روش مقاومت ویژه نیز به واسطه مقاومت ویژه پایین زون‌های دگرسانی می‌توان استفاده نمود (کریم پور و سعادت، ۱۳۹۶).

چون داده‌های ژئوفیزیکی، حجمی و معمولاً همراه با نویفه بوده و نیز طیف تغییرات خصوصیات فیزیکی توده‌های زیرسطحی، بسیار گسترده می‌باشد، بنابراین همواره این داده‌ها نیازمند انجام یکسری عملیات پردازشی و مدل‌سازی هستند و اعمال آنها برای تشخیص و جداسازی بین هنجاری‌های واقعی از انواع کاذب، لازم و ضروری است (افضلی، ۱۳۹۵). در این پژوهش برای پردازش و مدل‌سازی داده‌های مغناطیسی از نرم افزار montaj Oasis و برای وارون‌سازی داده‌های بارپذیری و (Loke and Lane, 2002; Res2dinv Loke and Barker, 1996; Loke, 1999, 2000) استفاده شده است. که پایه و اساس این نرم افزار را مدل‌سازی وارون هموار تشکیل می‌دهد. ترسیم انواع نقشه‌ها و مقاطع مختلف و مدل‌سازی‌های زمین‌شناسی کانسار نیز با استفاده از نرم Rockworks Surfer افزارهای (http://www.rockware.com/Rockworks16) انجام شده است.

۴-۱. مطالعات مغناطیسی‌سنجدی در محدوده مورد مطالعه
برداشت مغناطیسی با فواصل پروفیلی ۴۰ متر و فواصل ایستگاهی ۲۰ متر در ۱۰۷۷ ایستگاه انجام شده و نقشه‌ها همگی توسط نرم افزار montaj Oasis ترسیم و تحلیل شده اند. مقادیر زاویه میل و انحراف مغناطیسی منطقه توسط مدل IGRF به ترتیب برابر با $53/5$ و $4/3$ درجه و میزان شدت میدان ناحیه‌ای (زمینه) نیز 47680 گاما بدست آمده است. در

به روش‌های مغناطیسی‌سنجدی، مقاومت ویژه و قطبش القایی و حفر ترانشه‌ها و گمانه‌های اکتشافی است. عملیات ژئوفیزیکی در دو مرحله برداشت شده است؛ در مرحله اول ۱۰۷۷ ایستگاه مغناطیسی‌سنجدی برای ثبت داده‌های مغناطیسی به منظور بررسی و شناسایی زون پتاسیک برداشت شد. در مرحله بعدی ابتدا برداشت‌های قطبش القایی و مقاومت ویژه در شش پروفیل با روند تقریبی شمالی-جنوبی برداشت شده و در ادامه با توجه به نتایج به دست آمده، یک پروفیل عمود بر شش پروفیل قبلی با روند تقریبی شرقی-غربی برداشت شد. در این مرحله در کل ۸۰۰ ایستگاه اندازه گیری با آرایه دوقطبی-دوقطبی با فاصله الکترودی ۴۰ متر و پرش ۲۰ متر برداشت شد. همچنین در این محدوده تعداد ۱۱ عدد ترانشه اکتشافی با طول حدود ۲۳۴ متر در واحدهای کوارتز مونزودیوریتی-مونزونگرانیت حفر شده است.

پس از انجام عملیات اکتشاف مرحله پی‌جی‌وی و مطالعات زمین‌شناسی در منطقه، تعداد ۲۳ حلقه گمانه اکتشافی قائم در واحدهای نفوذی با ترکیب دیوریتی، مونزونیتی و گرانیتی حفاری شد. عمق حفاری‌ها از ۵۲ متر (گمانه NNB9) تا ۲۴۵ متر (گمانه NNB1) متغیر بوده و درمجموع حدود ۲۲۴ متر حفاری انجام شده است. تمامی گمانه‌ها مورد برداشت زمین‌شناسی و نمونه‌گیری جهت مطالعات پتروگرافی، کانه-نگاری و آنالیز شیمیایی قرار گرفتند. از این گمانه‌ها تعداد ۵۳۰ نمونه جهت عنصر مس تجزیه شیمیایی شده که براساس نتایج تجزیه شیمیایی نمونه‌های برداشت شده نیز عیار مس را بین (۲/۲ تا ۱۲/۲) ppm متغیر نشان می‌دهد.

۴. روش شناسی پژوهش

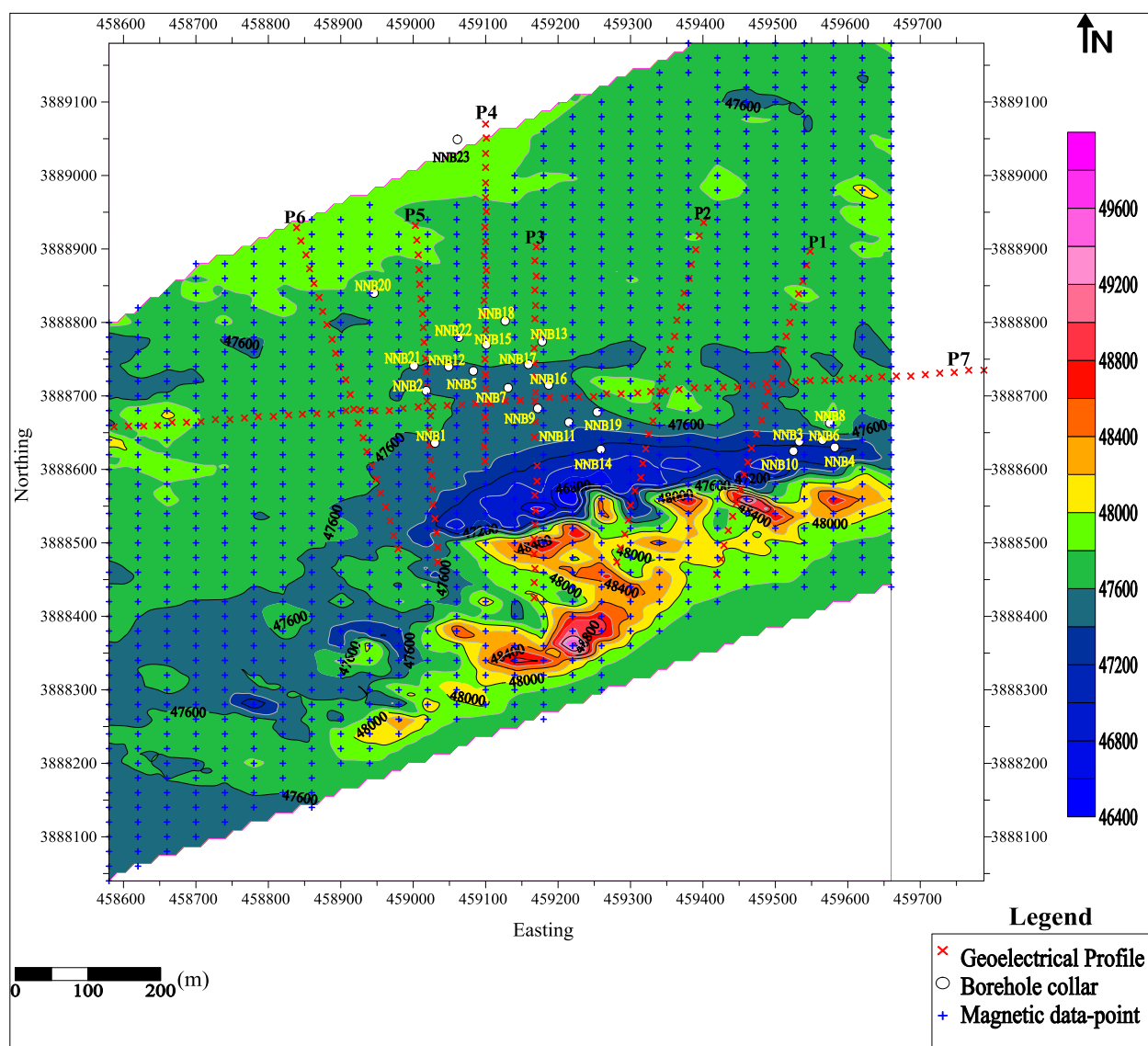
همان‌گونه که قبلاً نیز آورده شد انجام عملیات ژئوفیزیکی به روش‌های مغناطیسی‌سنجدی، مقاومت ویژه و قطبش القایی از مهم ترین فعالیت‌های اکتشافی غیرمستقیم انجام شده در منطقه است. معمولاً در بخش‌های عمقی زون دگرسانی پتاسیک، رگه و رگچه‌هایی از کانی مگنتیت همراه با دیگر کانی‌های سولفیدی آهن همانند پیریت و کالکوپیریت وجود دارند.

می‌کند. بدین ترتیب اثر ساختارهای عمیق را برجسته می‌نماید (Kellogg, 2010; Gupta and Ramani, 1980). نقشه‌های گسترش به سمت بالا تا ۱۰، ۲۰، ۴۰، ۶۰ و ۸۰ و ۱۰۰ متر بعد از اعمال فیلتر برگردان به قطب ترسیم و تفسیر شد (شکل ۳). ارتفاع ادامه فراسو براساس سعی و خطأ و براساس مقایسه بی هنجری‌های متعدد در ارتفاعهای مختلف، انتخاب شده است. معمولاً انتخاب ارتفاع فیلترهای گسترش رو به بالا کیفی است و با مقایسه نتایج در ارتفاعات مختلف می‌توان به ارتفاع بهینه تقریبی دست یافت (Zeng et al., 2007) بهترین انتخاب از بین نقشه‌های ادامه فراسو تهیه شده برای نقشه بی-هنجری ناحیه‌ای، مربوط به ارتفاع ۶۰ متر است زیرا بعد از این ارتفاع تمامی نقشه‌ها تقریباً روند مشابه را دنبال می‌کنند و می‌توان گفت که از این ارتفاع به بعد اثر ساختارهای عمیق برجسته‌تر و تمامی نقشه‌ها یکسان می‌شوند.

مطابق نقشه‌های مغناطیسی، مقدار خودپذیری مغناطیسی سنگ‌ها در بخش جنوبی محدوده مورد مطالعه (با رنگ تیره) کمی بالاست. بی‌هنجری‌های اصلی نیز بطور عمدۀ در بخش‌های شمالی و جنوبی با روند شرقی- غربی مشاهده می‌شوند. بی‌هنجری‌های بخش شمالی بخصوص شمال شرق و شمال غرب از گسترش و پراکندگی بیشتری برخوردارند ولی شدت میدان مغناطیسی آنها نسبت به بی‌هنجری‌های بخش جنوبی کمتر است؛ این بی‌هنجری‌ها منطبق بر سنگ‌های آذرین آندزیت و آندزیت بازالتی هستند. محدوده‌هایی که شدت میدان آنها از مقادیر متوسط برخوردار است، بخصوص از بخش مرکزی به سمت غرب، بطور عمدۀ با زون دگرسانی سریستی (فیلیک)، آرژیلیک و پروپیلیتیک منطبق است.

شکل ۲ نقشه تغییرات شدت میدان مغناطیسی کل منطقه برای داده‌های خام همراه با نمایش موقعیت نقاط برداشت مغناطیسی‌سنگی، پروفیل‌های برداشت ژئوالکتریکی و گمانه‌های اکتشافی نشان داده شده است. در این محدوده کمترین مقدار شدت میدان مغناطیسی ۴۶۰۵ گاما و بیشترین مقدار ۳۷۰۰ گاما می‌باشد. نقشه بی‌هنجری مغناطیسی منطقه، تغییرات نسبتاً شدیدی را نشان می‌دهد که ممکن است ناشی از تغییرات در توپوگرافی یا لیتلولوژی منطقه باشد. بطورکلی در منطقه سه زون قابل مشاهده است: زون با کمترین شدت میدان مغناطیسی که نشان از فقدان توده کانساری در منطقه یا عمق بسیار زیاد آن یا سنگ بستر رسوبی دارد. زون دارای شدت میدان مغناطیسی متوسط که می‌تواند در ارتباط با کانی سازی در منطقه و یا حضور سنگ‌های آذرین اسیدی باشد. زون با بیشترین شدت میدان مغناطیسی که احتمالاً در ارتباط با حضور سنگ‌های آذرین بازیک و اولترابازیک (که در بخش‌هایی از سطح محدوده نیز رخنمون داشته و قابل مشاهده‌اند)، وجود توده‌های با شدت مغناطیسی پذیری بالا و یا عمق کم سنگ بستر باشد.

برای پردازش و تفسیر نقشه‌های بی‌هنجری مغناطیسی می‌توان از روش‌های گوناگونی استفاده نمود که تقریباً بیشتر آنها براساس سعی و خطأ هستند. معمولاً اولین فیلتر اعمالی فیلتر برگردان به قطب است که این فیلتر برای تطبیق بی‌هنجری‌ها اعمال می‌شود. فیلتر برگردان به قطب بی‌هنجری‌های مغناطیسی را به محل خود منتقل کرده و می‌توان آن را با نقشه‌های زمین‌شناسی تهیه شده بهتر تطبیق داد. در تغییرپذیری‌های مغناطیسی به منظور تشخیص بی‌هنجری‌های ناحیه‌ای از روش گسترش به سمت بالا یا ادامه فراسو (Upward continuation) به کرات استفاده می‌شود (Claerbout, 1985). این روش نو法ه مربوط به ویژگی‌های سطحی را کاهش می‌دهد (Reynolds, 2011) که بی‌هنجری‌های فرکانس بالا (طول موج کوتاه) را حذف کرده و در مقابل، بی‌هنجری‌های با فرکانس پایین (طول موج بلند) را تقویت



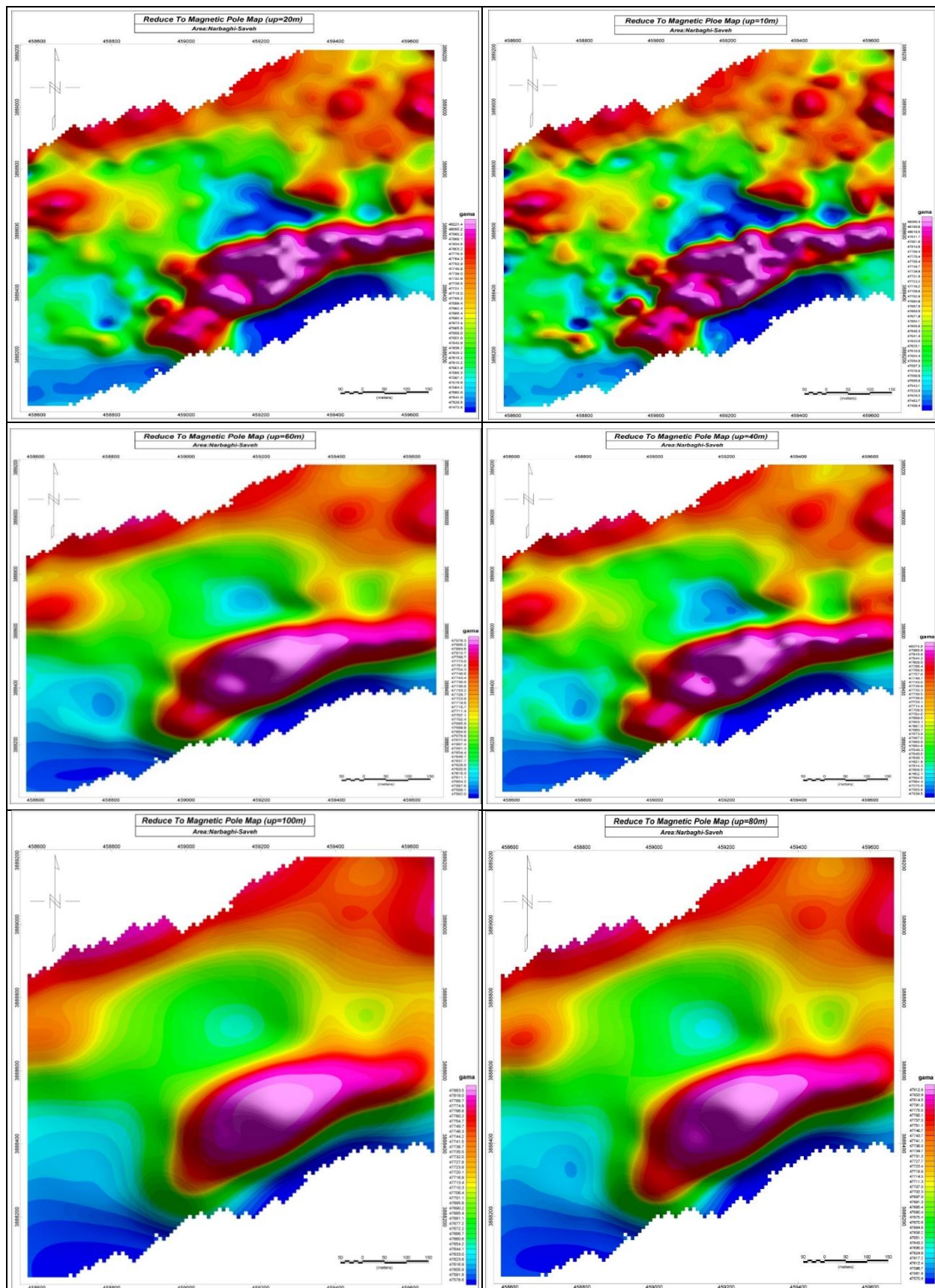
شکل ۲. نقشه تغییرات شدت میدان مغناطیسی کل منطقه مورد مطالعه با نمایش موقعیت نقاط برداشت مغناطیس سنگی، پروفیل‌های برداشت ژئوکتریکی و گمانه‌های اکتشافی.

مقاومت ویژه و (ب) بارپذیری را برای پروفیل P1 با تاثیر توپوگرافی نشان می‌دهد. بر روی مدل مقاومت ویژه این پروفیل که انتهای جنوبی آن، جاده دسترسی به محدوده را قطع می‌کند و از سنگ دیوریتی با رنگ تیره نیز عبور کرده می‌توان به چند گستگی یا کنتاکت (مشخص شده با علامت خط‌چین بر روی شکل) در ایستگاه‌های ۴۰، ۱۰۰ و ۲۱۰ اشاره کرد. مقدار مقاومت ویژه از ایستگاه ۲۴۰ به سمت شمال بالا رفته و همچنین بین ایستگاه ۱۰۰ تا ۲۰۰ بجز بخش کوچکی بین ایستگاه ۱۲۰ تا ۱۴۰، بطورکلی کم شده و با رنگ آبی تا عمق ۴۰ متری به خوبی مشخص است. زیر این بخش و در سمت جنوب نیز مقاومت، کمی افزایش می‌یابد. با نگاهی به مدل بارپذیری می‌توان توده‌ای با شدت پلاریته بالا بین ایستگاه ۱۶۰ تا ۲۰۰ جدا نمود که در عمق، تا حدود ۶۰ متر و به سمت شمال تا حدود ایستگاه ۲۴۰ کشیده شده است. در جنوب پروفیل بین ایستگاه ۴۰ تا ۶۰ در حاشیه شمالی توده دیوریتی، کمی پلاریته بالا رفته است. با مقایسه دو مقطع مقاومت ویژه و بارپذیری مشاهده می‌شود که در حاشیه بخش با مقاومت کم، توده با پلاریته بالا وجود دارد که این نشان دهنده حضور توده‌های سولفیدی در حاشیه دگرسانی است. کانی‌سازی بطور پراکنده از حاشیه شمال توده دیوریتی با رنگ تیره در جنوب شروع شده و تا ارتفاعات شمالی ادامه داشته است. بدین ترتیب بایستی بر روی این پروفیل، بررسی سطحی از ایستگاه ۱۰۰ تا ۱۲۰ بطور دقیق صورت گیرد.

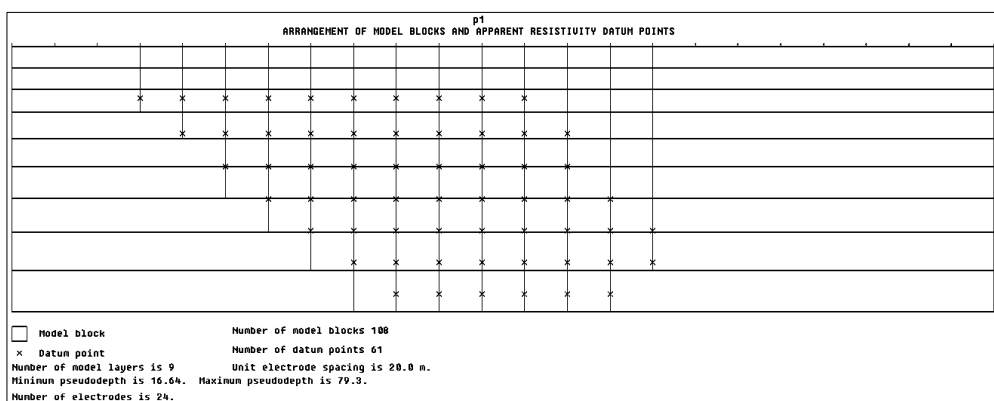
در شکل ۶ مقطع حساسیت (Sensitivity) عمقی نسبی بلوک‌های مدل مقاومت ویژه پروفیل P1 همراه با مقطع مقاومت ویژه بعد از مدل‌سازی وارون هموار توسط نرم افزار Res2dinv نشان داده شده است. با توجه به این شکل مشاهده می‌شود که مطابق انتظار، بیشترین حساسیت را بلوک‌های نزدیک سطحی (لایه اول) دارا هستند.

۴-۲. برداشت‌های ژئوالکتریکی در محدوده مورد مطالعه به منظور تکمیل عملیات اکتشاف ژئوفیزیکی مغناطیس سنجد و شناسایی و اکتشاف ماده معدنی در عمق، برداشت‌های قطبش القایی و مقاومت ویژه نیز در منطقه انجام شده است. برای این منظور مطابق شکل ۲ تعداد ۶ پروفیل با روند تقریبی شمالی-جنوبی برداشت شده و در ادامه با توجه به نتایج به دست آمده، یک پروفیل نیز با روند تقریبی شرقی-غربی عمود بر ۶ پروفیل قبلی برداشت گردیده که این پروفیل‌ها با نام‌های P1 تا P7 نامگذاری شده‌اند. همه برداشت‌های ژئوالکتریک با آرایه دوقطبی-دوقطبی با پرش ۲۰ متر و تا عمق تقریبی ۸۵ متر انجام شده و در مجموع ۸۰۰ ایستگاه، اندازه‌گیری شده است. با توجه به شکل ۲ مشاهده می‌شود که برداشت‌های ژئوالکتریکی و بیشتر گمانه‌های اکتشافی عمیق، در محدوده با مقدار شدت میدان مغناطیسی متوسط (که احتمالاً در ارتباط با زون‌های دگرسانی و درنتیجه کانی سازی می‌باشند)، متمرکز شده است. همچنین فقط تعدادی از گمانه‌ها بر روی پروفیل‌های ژئوالکتریک، منطبق بوده یا در نزدیکی آنها قرار دارند. بنابراین با وجود اطلاعات زمین شناسی و عیارسنجدی مس در گمانه‌ها و نیز اطلاعات ژئوفیزیکی عمقی (بویژه ژئوالکتریک) در موقعیت این گمانه‌ها می‌توان به بررسی و انطباق نتایج مطالعات ژئوفیزیکی با واقعیت زمین (داده‌های عیارسنجدی) پرداخت و میزان اعتبار آنها را ارزیابی نمود. در ادامه به عنوان نمونه مدل‌سازی و تفسیر شبه مقاطع منطبق بر پروفیل‌های P1 و P3 آورده شده است.

۴-۲-۱. مدل‌سازی داده‌های پروفیل P1
بر روی این پروفیل برداشت‌ها با فاصله الکتروودی ۴۰ متر، پرش ۲۰ متر و تا ۷ پرش (n=7) ۴۰ متری برای الکترودهای پتانسیل انجام شده است. با ۱۰ پرش برای الکتروود جریان، جمعاً ۶۱ نقطه بر روی این پروفیل برای دو پارامتر مقاومت ویژه و قطبش القایی (در حوزه زمان) اندازه‌گیری شده است. مدل اولیه بلوک‌بندی داده‌های پروفیل P1 در شکل ۴ نشان داده شده است. شکل ۵ مقاطع وارون‌سازی شده (الف)



شکل ۳. نقشه گسترش به سمت بالا تا ۲۰، ۱۰، ۶۰، ۴۰، ۸۰ و ۱۰۰ متر.



شکل ۴. مدل اولیه بلوک‌بندی شده پروفیل P1 توسط نرم‌افزار Res2dinv

عبارت دیگر منشأ کانی‌سازی فلزی را از غیرفلزی جدا می‌سازد، مثلاً کانی‌سازی سولفوری را از گرافیت و شیل مجزا می‌کند. فاکتور فلزی که با علامت اختصاری MF نشان داده می‌شود، برای قطبش القایی در حوزه زمان با استفاده از رابطه (۱) و در حوزه فرکانس از رابطه (۲) محاسبه می‌شود: (https://wiki.seg.org/wiki/Dictionary:Metal_factor_MF)

$$MF = \frac{M \times 2000}{\rho} \quad (1)$$

$$MF = \frac{PFE \times 2000}{\rho} \quad (2)$$

که در این روابط M مقدار بارپذیری در حوزه زمان، ρ مقدار مقاومت ویژه ظاهری و PFE درصد اثر فرکانس (مقدار بارپذیری ظاهری در حوزه فرکانس) می‌باشد. شکل ۹ مقطع فاکتور فلزی منطبق بر پروفیل P1 را پس از مدل‌سازی وارون هموار داده‌ها نمایش می‌دهد. همان‌گونه که مشاهده می‌شود مقدار فاکتور فلزی در دو محدوده مجزا نسبتاً بالاست: یکی در ایستگاه ۱۱۰ در نزدیکی سطح زمین و در عمق تقریبی ۸ متر و دیگری در بین ایستگاه ۱۵۰ تا ۱۹۰ در عمق تقریبی ۲۳ متر. بنابراین حفر یک چال قائم تا عمق بیشینه ۱۰ متر در موقعیت ایستگاه ۱۱۰ و حفر یک گمانه قائم تا عمق ۵۰ متر در ایستگاه ۱۷۰ مناسب‌ترین موقعیت پیشنهادی حفاری می‌باشند.

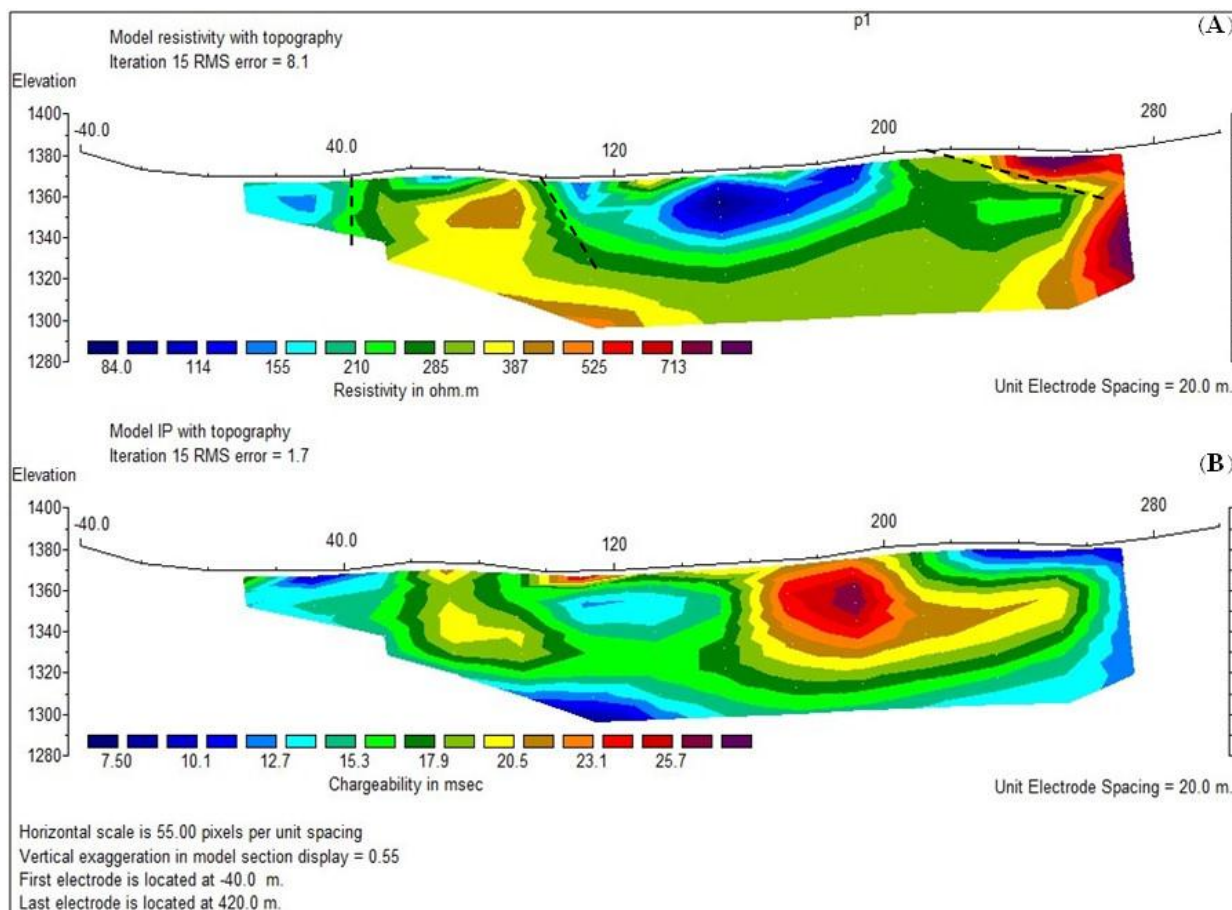
شکل ۷ نمودار درصد عدم قطعیت (Uncertainty) مدل بلوکی داده‌های مقاومت ویژه پروفیل P1 را همراه با مقطع مقاومت ویژه بعد از مدل‌سازی وارون هموار توسط نرم‌افزار Res2dinv نشان می‌دهد. با توجه به این شکل بیشترین عدم قطعیت به بلوک‌های لایه آخر (لایه پنجم و ششم) تعلق دارد. در شکل ۸ نمودار فراوانی آماری میزان خطای RMS مربوط به محاسبه مقادیر مقاومت ویژه ظاهری بلوک‌های مختلف، برای پروفیل P1 نشان داده شده است. مطابق این شکل بیشترین تکرار (فراوانی) خطای با تعداد ۱۸ نقطه مربوط به عدد صفر است. با توجه به این نکته و نگاه کلی به سایر مقادیر خطای فراوانی آنها می‌توان عملکرد مدل‌سازی وارون برای داده‌های این شبه مقطع را قابل ارزیابی نمود.

در اکتشاف کانسارهای فلزی، قطبش فلزی از اهمیت زیادی برخوردار است. معمولاً به هنگام اندازه‌گیری نمی‌توان اثر قطبش غشایی را از فلزی تشخیص داد؛ درنتیجه قطبش غشایی در اندازه‌گیری‌های قطبش القایی برای اکتشاف کانسارهای فلزی هادی، نوافه محسوب می‌شود. برای رفع این مشکل در شناسایی محدوده‌های مرتبط با ماده معدنی در شبه مقاطع، از فاکتور فلزی (Metal Factor) استفاده می‌شود که در واقع ترکیبی از شبه مقاطع بارپذیری و مقاومت ویژه ظاهری است. فاکتور فلزی یک پارامتر کیفی است که تا حدودی قطبش فلزی را از قطبش غیرفلزی جدا می‌کند و به

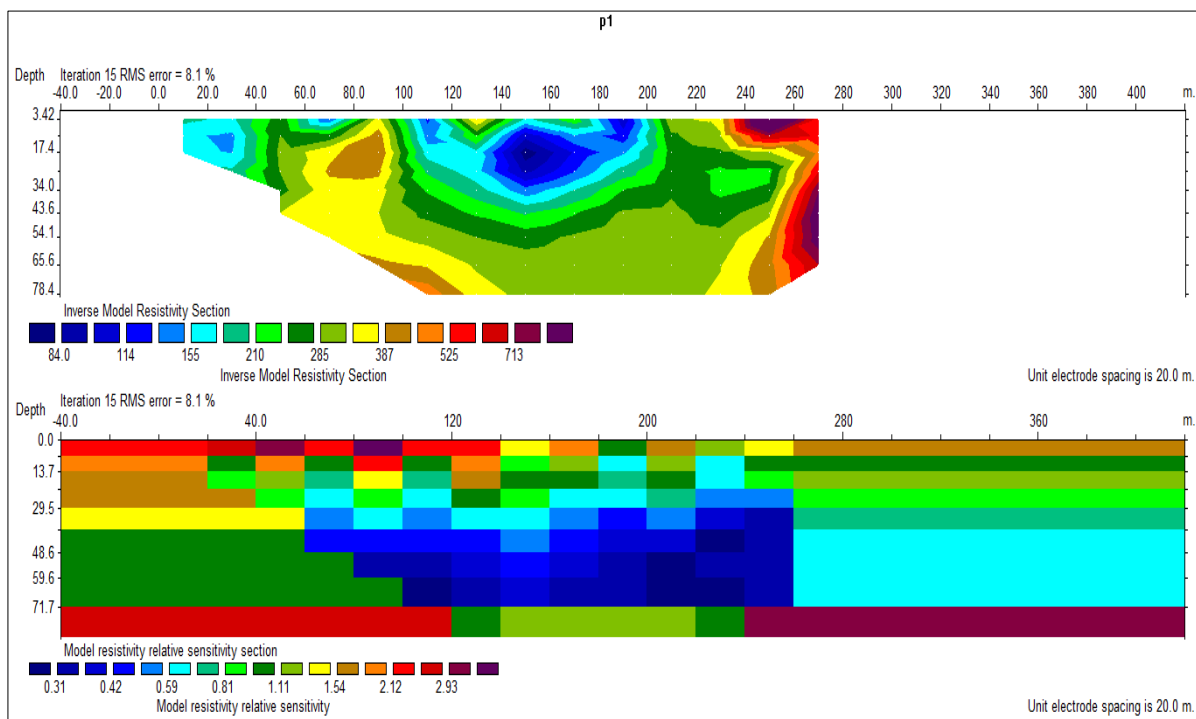
بخش سنگی از جنس کوارتز مونزودیوریت متنه‌ی می‌شود که به نظر به سمت شمال تا عمق کشیده شده است. در سمت شمال از حدود ایستگاه ۱۶۰ به سمت شمال، مقاومت ویژه بالا رفته و پلاریته کم شده است. بر روی مدل قطبش القایی در زیر ایستگاه ۱۴۰ بین ۱۲۰ تا ۱۶۰ یک بخش با پلاریته بالا دیده می‌شود. در زیر ایستگاه ۲۰ تا ۶۰ در عمق ۲۰ متری نیز یک توده با پلاریته بالا ثبت شده است. موقعیت چند نایپوسنگی احتمالی نیز با علامت خط چین بر روی شکل نشان داده شده‌اند.

۴-۲. مدل‌سازی داده‌های پروفیل P3

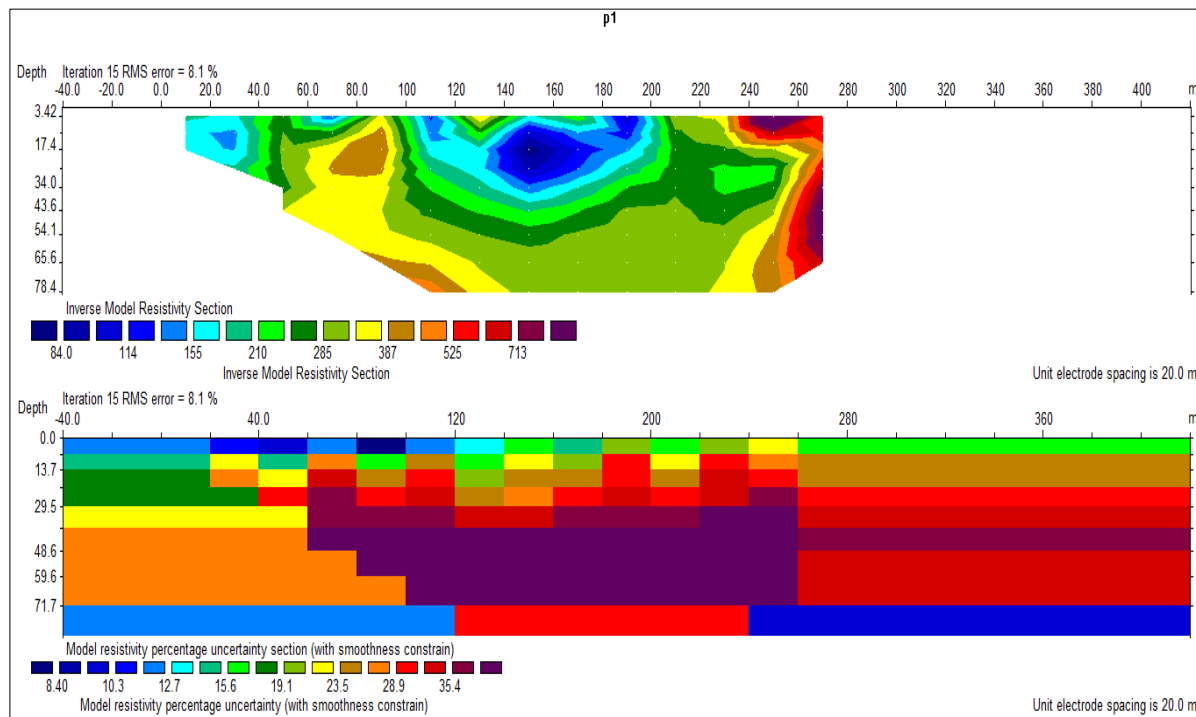
بر روی این پروفیل برداشت‌ها با فاصله الکترودی ۴۰ متر، پرش ۲۰ متر و تا ۷ پرش ۴۰ متری برای الکترودهای پتانسیل انجام شده است. با ۱۰ پرش برای الکترود جریان، جمیاً ۴۸ نقطه بر روی این پروفیل برای دو پارامتر مقاومت ویژه و قطبش القایی اندازه‌گیری شده است. شکل ۱۰ مقاطع مدل‌سازی وارون شده (الف) مقاومت ویژه و (ب) باریزیری منطقه بر پروفیل P3 را با تاثیر توپوگرافی نشان می‌دهد. مدل مقاومت ویژه این پروفیل از ایستگاه صفر به سمت جنوب به



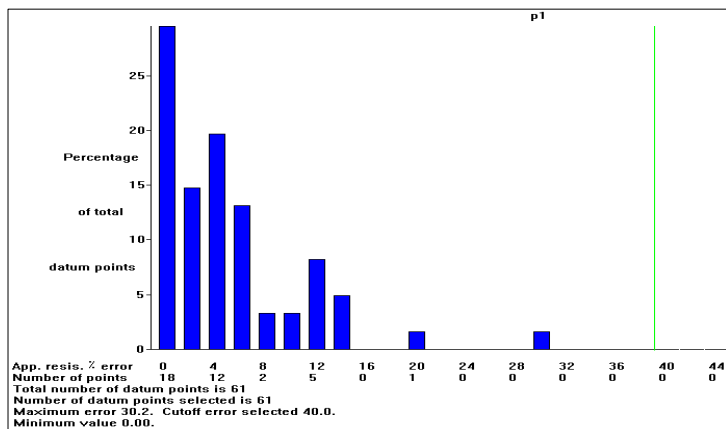
شکل ۵. مقاطع (A) مقاومت ویژه و (B) باریزیری داده‌های پروفیل P1 بعد از مدل‌سازی وارون هموار.



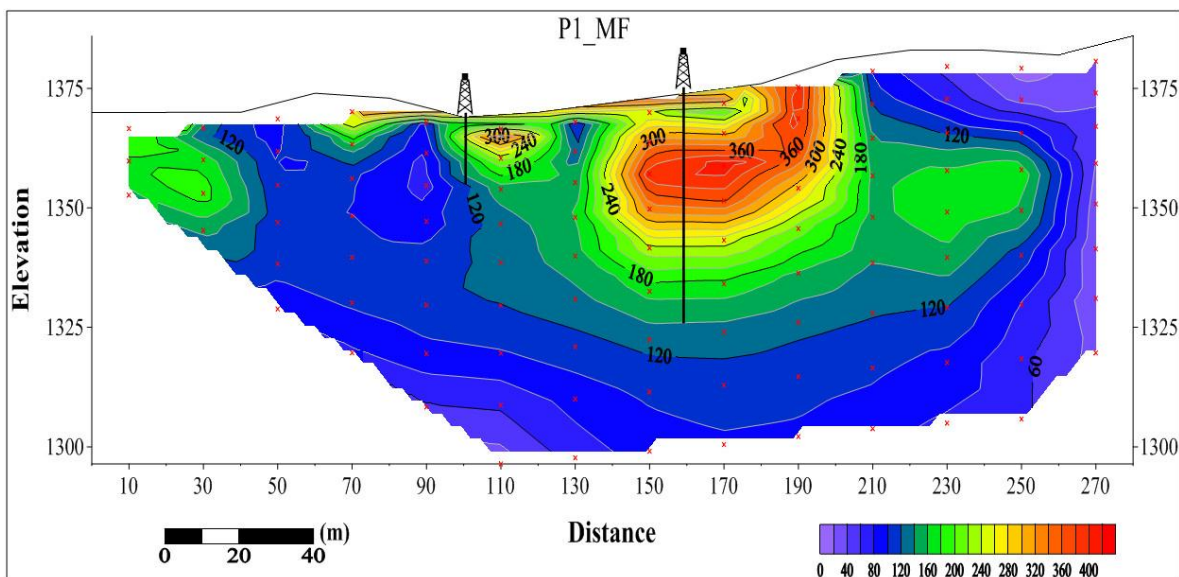
شکل ۶. حساسیت نسبی بلوک‌های مدل مقاومت ویژه پروفیل P1 (قسمت پایین).



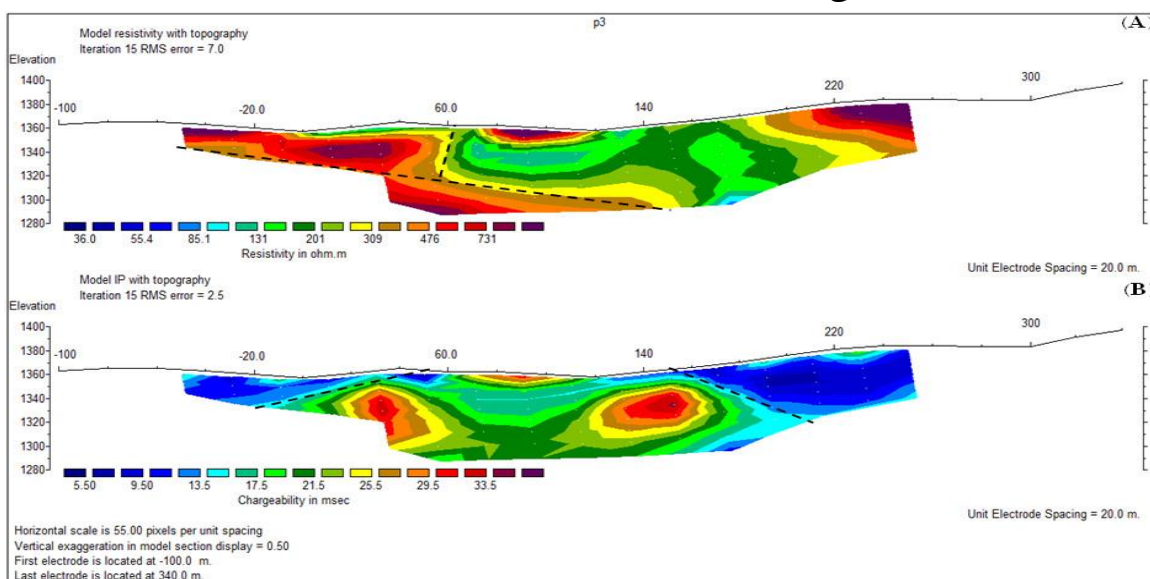
شکل ۷. مقطع درصد عدم قطعیت بلوک‌های مدل مقاومت ویژه پروفیل P1 (قسمت پایین).



شکل ۸. خطای مجذور میانگین مربعات (RMS) در محاسبه مقاومت ویژه ظاهری بلوک‌های مختلف پروفیل P1



شکل ۹. مقطع فاکتور فلزی داده‌های پروفیل P1 بعد از مدل‌سازی وارون هموار.



شکل ۱۰. مقاطع (A) مقاومت ویژه و (B) بارپذیری داده‌های پروفیل P3 بعد از مدل‌سازی وارون هموار.

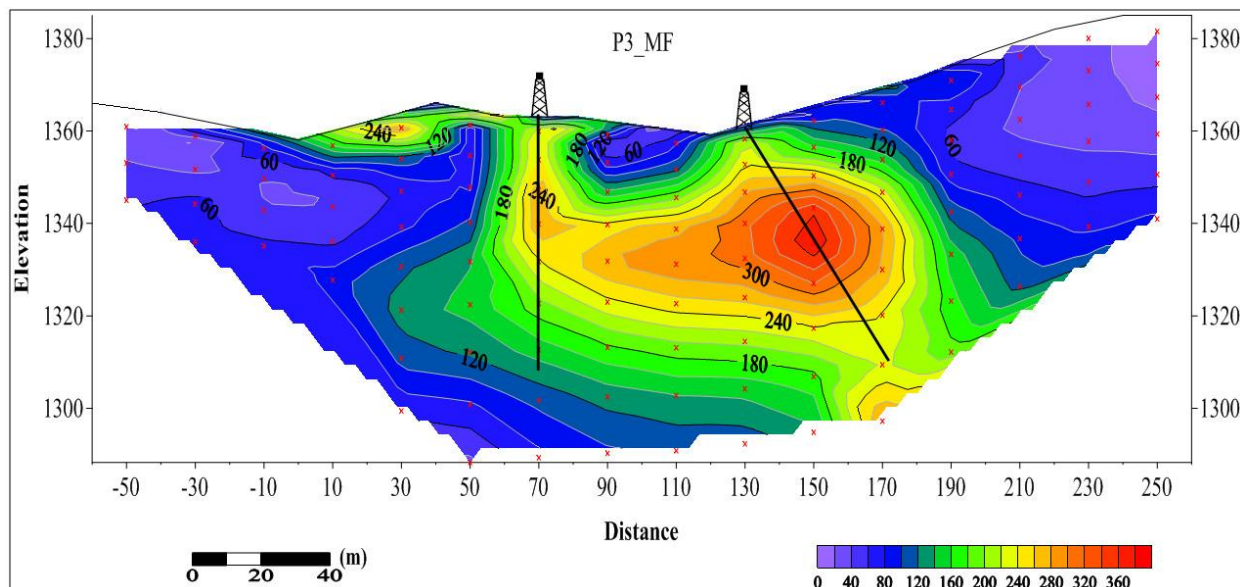
۱۰، ۲۵، ۴۳ و ۷۸ متری، نقشه جدأگانه هر کدام از ویژگی‌ها در یک شکل به صورت یکجا ترسیم شده تا بررسی تغییرات هر ویژگی در عمق‌های مختلف بهتر و راحت‌تر انجام گیرد. برای دید بهتر، تمامی نقشه‌ها بصورت سه بعدی با زاویه چرخش (Rotation) ۴۵ درجه و زاویه تیلت (Tilt) ۳۰ درجه ترسیم شده‌اند. در شکل ۱۲ نقشه تغییرات مقاومت ویژه کل منطقه مورد مطالعه در عمق‌های مختلف ترسیم شده است. مطابق این شکل در شکل ۱۲ نقشه تغییرات مقاومت ویژه کل شرقی و ۳۸۸۸۰۰ شمالی در عمق ۱۰ متری، مقاومت ویژه بالاست ولی با افزایش عمق، مقدار آن کمتر و کمتر می‌شود تا به زیر ۲۵۰ اهم‌متر می‌رسد. محدوده با مختصات تقریبی ۴۵۸۹۰۰ شرقی و ۳۸۸۷۰۰ شمالی که مقاومت ویژه پایینی در عمق ۱۰ متر دارد، با افزایش عمق شدت آن بیشتر می‌شود بگونه‌ای که در عمق ۷۸ متر به بالای ۸۵۰ اهم‌متر می‌رسد. همچنین در محدوده با مختصات تقریبی ۴۵۹۴۵۰ شرقی و ۳۸۸۸۷۰۰ شمالی که در عمق ۱۰ متر مقاومت ویژه پایین است، با افزایش عمق مقدار آن کمی بیشتر می‌شود تا در عمق ۷۸ متری به حدود ۴۵۰ اهم‌متر می‌رسد. در شکل ۱۳ نقشه تغییرات بارپذیری کل منطقه مورد مطالعه در عمق‌های مختلف ترسیم شده است. همان‌گونه که ملاحظه می‌شود محدوده با مختصات تقریبی بین ۴۵۹۱۵۰ تا ۴۵۹۳۵۰ شرقی و ۳۸۸۶۰۰ شمالی در عمق ۱۰ متری بارپذیری بالایی دارد اما با افزایش عمق از شدت آن کاسته شده بطوری که مقدار آن به زیر ۱۶ میلی‌ولت ثانیه بر ولت می‌رسد و یا محدوده با مختصات تقریبی ۴۵۹۱۰۰ شرقی و ۳۸۸۸۰۰ شمالی که بارپذیری پایینی در عمق ۱۰ متر دارد، با افزایش عمق، مقدار آن بیشتر می‌شود چنان‌که در عمق ۷۸ متری بالاتر از ۲۸ میلی‌ولت ثانیه بر ولت می‌شود.

شکل ۱۴ نقشه تغییرات فاکتور فلزی منطقه مورد مطالعه را در عمق‌های مختلف نشان می‌دهد. قابل ملاحظه است که محدوده با مختصات تقریبی ۴۵۹۴۵۰ شرقی و ۳۸۸۷۰۰ شمالی در عمق ۱۰ متری بیشترین مقدار فاکتور فلزی را دارد.

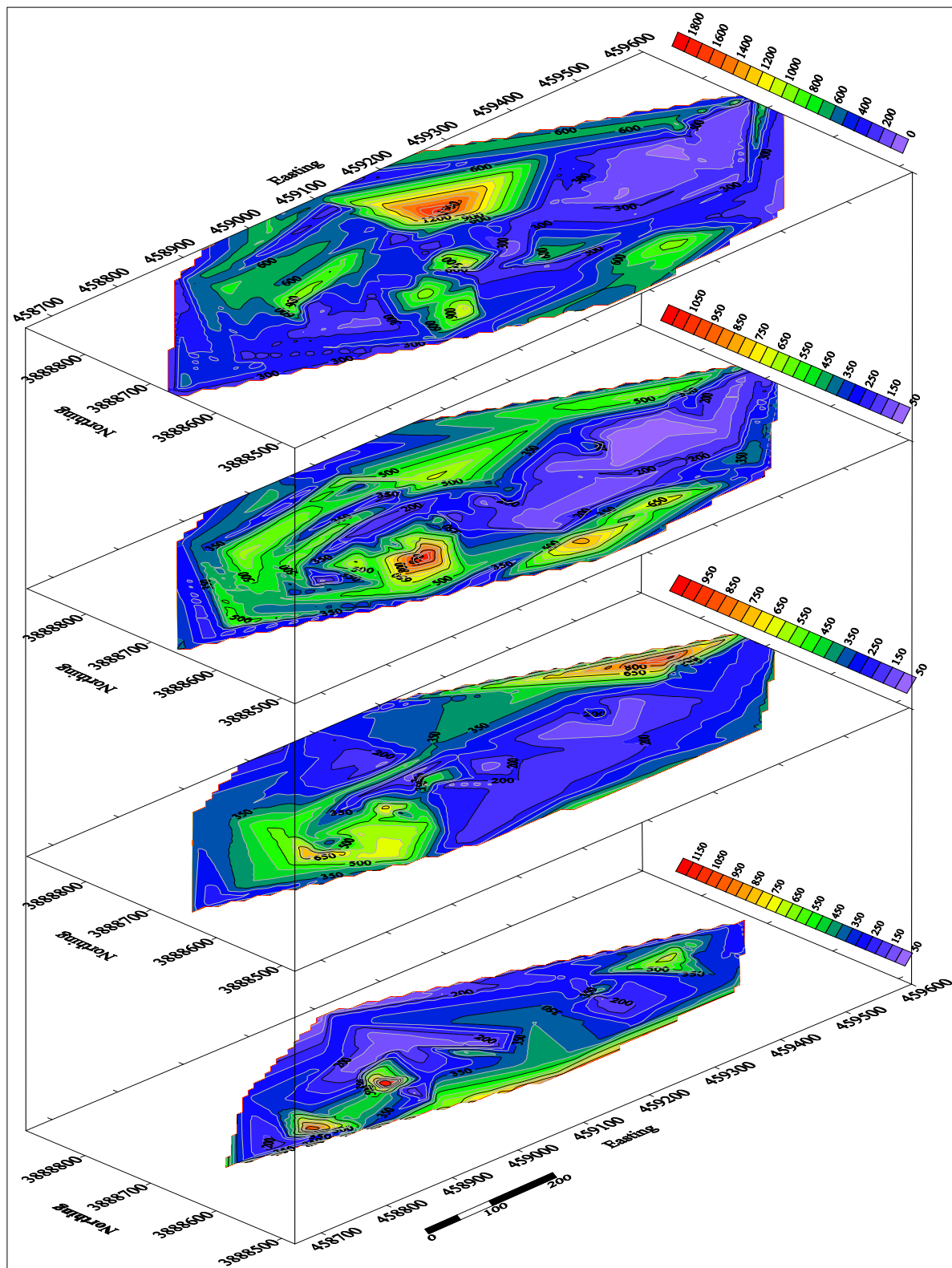
در موقعیت هر دوی این بی‌亨جارتی‌ها، بی‌هنجارتی مغناطیسی نیز وجود دارد اما اولی در حاشیه شمالی توده کوارتز مونزونیت و دومی در حاشیه یک بخش کم مقاومت احتمالاً دگرسان شده، واقع شده است. مشابه این حالت در پروفیل P1 نیز دیده می‌شود. اختلاف دیگر این دو توده در تفاوت بین مقاومت آنهاست که توده جنوبی مقاومت بالاتری نسبت به توده مرکزی دارد؛ به عبارتی ممکن است توده جنوبی، سیلیسی بوده در حالی که توده واقع در حاشیه دگرسانی، مقاومت کمی داشته و احتمالاً در زون گسله قرار دارد. مقطع فاکتور فلزی منطبق بر پروفیل P3 در شکل ۱۱ ترسیم شده است. همان‌گونه که مشاهده می‌شود مقدار فاکتور فلزی در ایستگاه ۳۰ نزدیک به سطح و در ایستگاه ۷۰ با عمق تقریبی ۲۵ متر نسبتاً بالاست و در بین ایستگاه ۱۲۰ تا ۱۷۰ در عمق تقریبی ۴۰ متر، به بیشترین مقدار خود می‌رسد. بنابراین مناسب‌ترین موقعیت‌های پیشنهادی حفاری، حفر یک گمانه قائم تا عمق ۵۰ متر در موقعیت ایستگاه ۷۰ و حفر یک گمانه مایل با شبیه ۵۰ درجه در راستای پروفیل، در موقعیت ایستگاه ۱۳۰ تا عمق ۶۵ متری می‌باشد. بررسی‌های ژئوالکتریکی عمقی منطقه وضعیت تغییرات عمقی مقاومت ویژه و بارپذیری در کل منطقه مورد مطالعه نیز مورد بررسی قرار گرفت. برای این منظور از داده‌های خروجی نرم‌افزار Res2dinv بعد از انجام مدل‌سازی وارون هموار شبه مقاطع ژئوفیزیکی مقاومت ویژه و بارپذیری هفت پروفیل، استفاده شد. بگونه‌ای که داده‌های وارون سازی شده تمام مقاطع در عمق‌های یکسان، تفکیک شده و بصورت نقشه‌های پریندی عمقی مربوط به اعمق مختلف درآمدند. این کار برای بررسی‌های بهتر بی‌هنجارتی‌های مقاومت ویژه، بارپذیری و فاکتور فلزی است. با استفاده از این نقشه‌ها می‌توان ویژگی‌های فیزیکی ژئوالکتریکی منطقه در اعماق مختلف را بصورت یکجا مشاهده و تجزیه و تحلیل نمود. بررسی‌ها برای داده‌های چهار عمق ۱۰، ۲۵، ۴۳ و ۷۸ متری انجام شد. با استفاده از داده‌های کل منطقه مورد مطالعه برای عمق‌های

با مختصات ۴۵۹۱۰۰ شرقی و ۳۸۸۸۰۰ شمالی در عمق‌های کم، فاکتور فلزی ضعیفی را نشان می‌دهد اما در اعمق، شدت آن بیشتر می‌شود و احتمال وجود کانی فلزی در این محدوده افزایش می‌یابد.

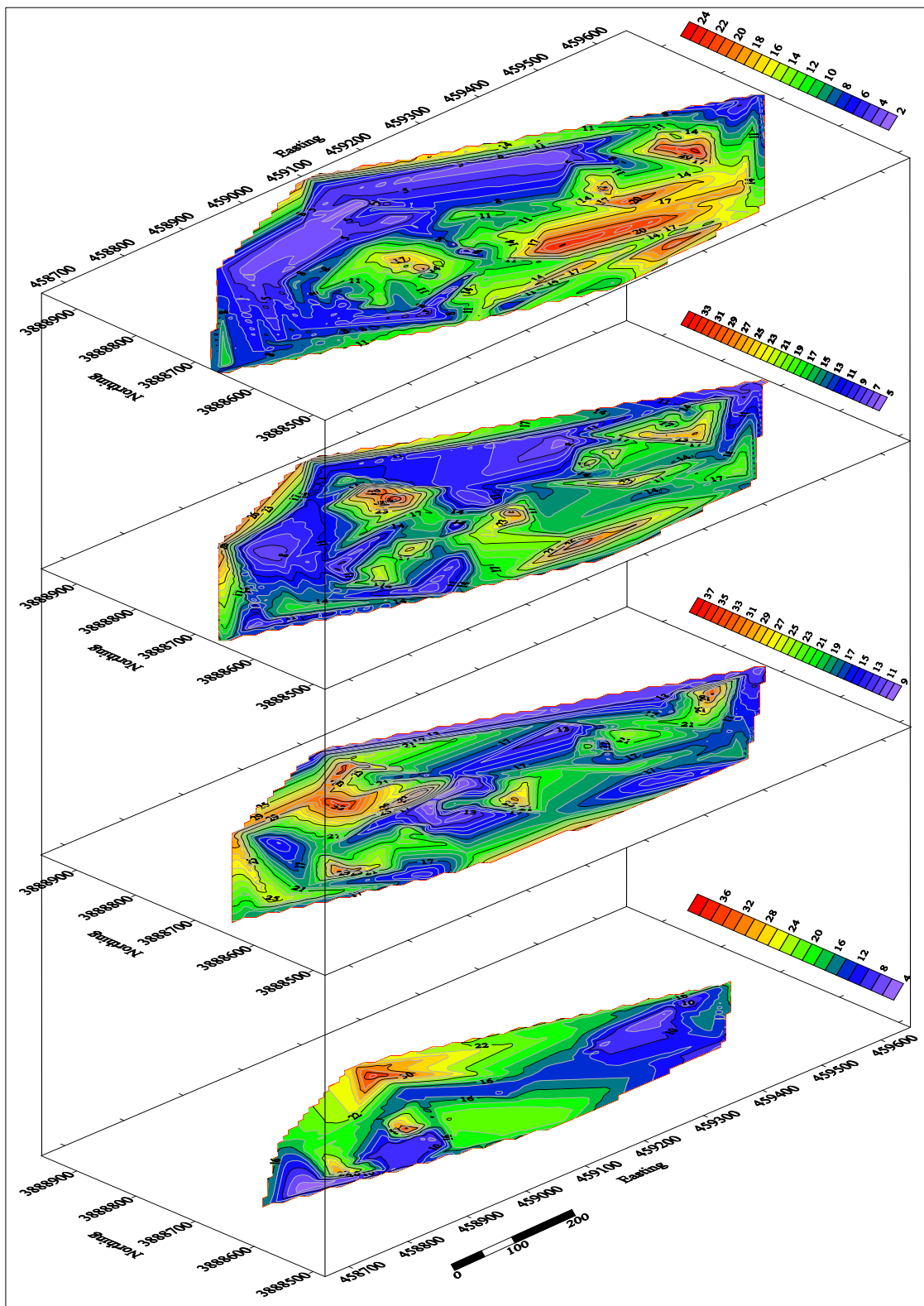
در عمق‌های ۲۵ و ۴۳ متری نیز این حداکثری وجود دارد اما در عمق ۷۸ متری اثر آن محو می‌شود. در عمق ۴۳ متری چندین محدوده با فاکتور فلزی بالا وجود دارد که در عمق‌های قبل و بعد، چندان اثری از آنها دیده نمی‌شود. محدوده



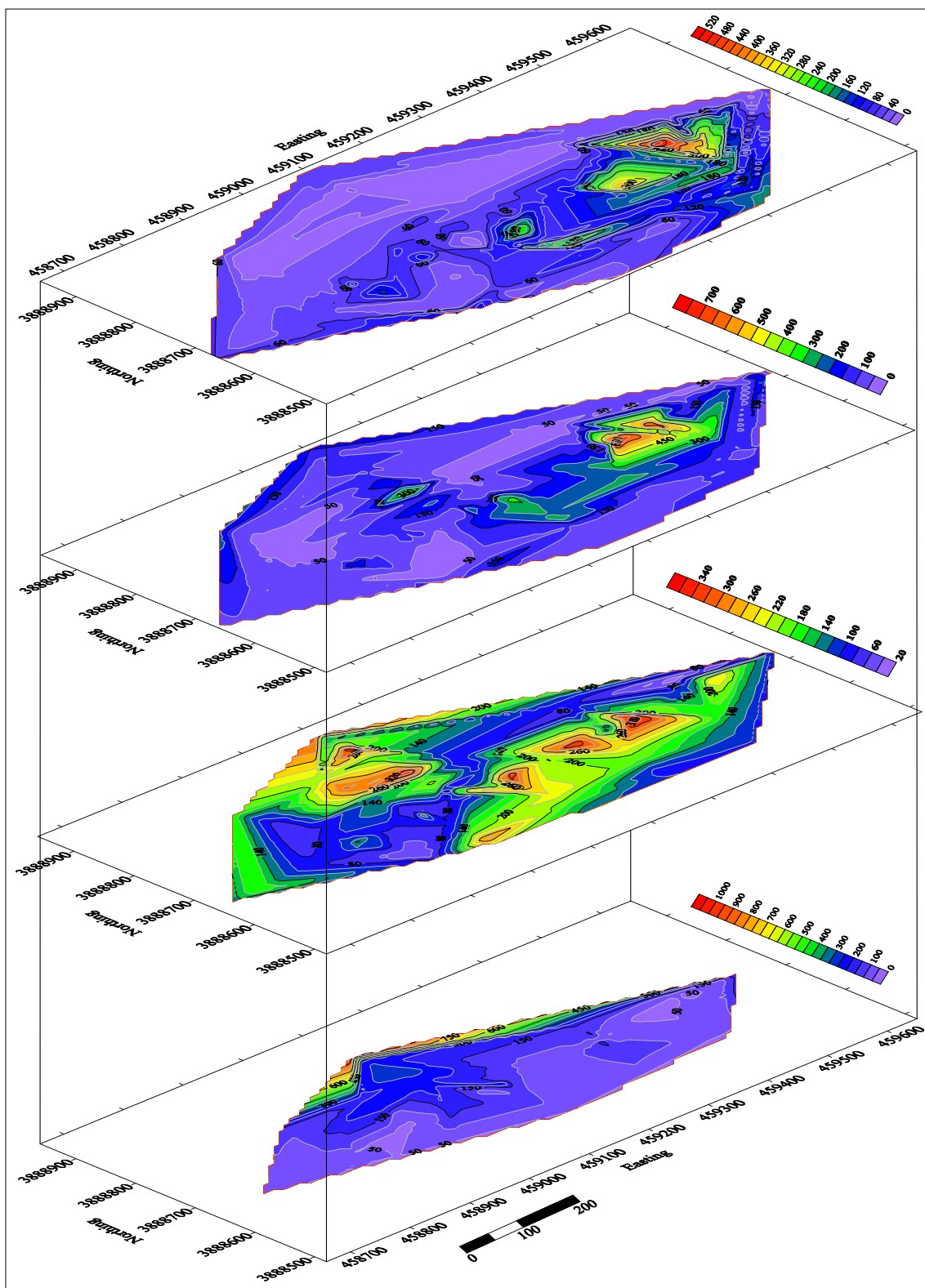
شکل ۱۱. مقطع فاکتور فلزی داده‌های پروفیل P3 بعد از مدل‌سازی وارون هموار.



شکل ۱۲. نقشه تغییرات مقاومت ویژه (بر حسب اهم‌متر) عمق‌های ۷۸، ۴۳، ۲۵ و ۱۰ متری (به ترتیب از بالا به پایین) در منطقه مورد مطالعه.



شکل ۱۳. نقشه تغییرات بارپذیری (برحسب میلی ثانیه) عمق‌های ۱۰، ۲۵، ۴۳ و ۷۸ متری (به ترتیب از بالا به پایین) در منطقه مورد مطالعه.



شکل ۱۴. نقشه تغییرات فاکتور فلزی (بر حسب عکس اهم‌متر) عمق‌های ۱۰، ۲۵، ۴۳، ۷۸ و ۱۰۰ متری (به ترتیب از بالا به پایین) در منطقه مورد مطالعه.

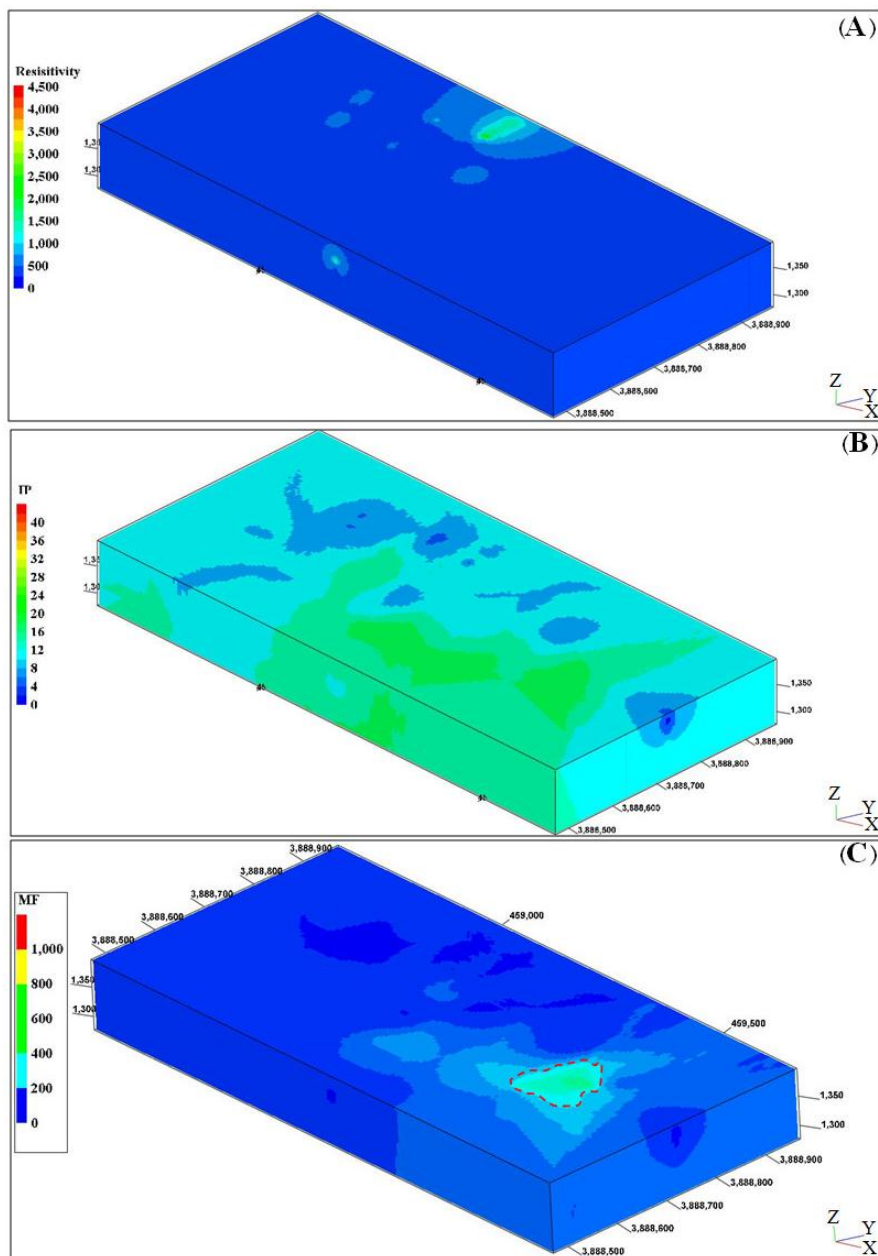
بالا بوده و بیش از ۲۰۰ موهو بر متر است که ظاهراً تا اعمق زیادی گسترش ندارد. بنابراین براساس مدل شکل (ج) به منظور شناسایی وضعیت ماده معدنی و نحوه کانه زایی در منطقه، بررسی وضعیت سطحی دقیق در بخش مرکزی نیمه شرقی محدوده و نیز انجام عملیات حفاری قائم در موقعیت با طول جغرافیایی ۴۵۹۴۰۰ شرقی و عرض جغرافیایی ۳۸۸۸۷۵۰ شمالی (مرکز محدوده مشخص شده با خطچین قرمزرنگ در شکل ۱۵) تا عمق ۸۰ متر، پیشنهاد می‌شود. گفتنی است که در این شکل‌ها جهت شمال، در راستای محور عرض‌ها (Y) می‌باشد.

۴-۲-۶. اعتبارسنجی عملیات ژئوالکتریک با داده‌های عیارسنجی

شکل ۱۶ مقطع ماده معدنی منطبق بر پروفیل ژئوفیزیکی P3 ترسیم شده با استفاده از داده‌های عیارسنجی چهار گمانه حفاری شده NNB9، NNB16، NNB17 و NNB13 را نشان می‌دهد. با توجه به این شکل مشاهده می‌شود که ماده معدنی در موقعیت با عرض جغرافیایی ۳۸۸۸۷۴۴ شمالی (منطبق بر ایستگاه ۲۲۰ ژئوفیزیک) در فاصله عمقی حدود ۵۰ تا ۶۵ متری و در موقعیت با عرض جغرافیایی ۳۸۸۸۷۷۴ شمالی (منطبق بر ایستگاه ۲۵۰ ژئوفیزیک) در اعمق حدودی ۲۰ و ۶۰ متری، از عیار بالاتری برخوردار است. حال آنکه براساس مطالعات ژئوفیزیکی و تفسیر مقاطع مدل‌سازی شده، مناسب‌ترین موقعیت‌های پیشنهادی حفاری، حفر یک گمانه قائم تا عمق ۵۰ متر در موقعیت ایستگاه ۷۰ (عرض جغرافیایی ۳۸۸۸۵۹۴ شمالی) و حفر یک گمانه مایل با شیب ۵۰ درجه در راستای پروفیل، در موقعیت ایستگاه ۱۳۰ (عرض جغرافیایی ۳۸۸۸۶۵۴ شمالی) تا عمق ۶۵ متری می‌باشد. به عبارت دیگر هیچ یک از حفاری‌های انجام شده در راستای این پروفیل، براساس نتایج عملیات ژئوفیزیکی نیستند. همچنین با توجه به شکل ۱۶ مشاهده می‌شود که حفر گمانه‌های عمیق NNB9 و NNB16 بدون هیچ گونه منطق، هدف و طراحی درستی صورت گرفته و فاقد ماده معدنی می‌باشند.

۴-۲-۵. مدل شبese بعدی ویژگی‌های ژئوالکتریک منطقه در شکل ۱۵ مدل شبese بعدی (Solid model) تغییرات (الف) مقاومت ویژه، (ب) بارپذیری و (ج) فاکتورفلزی محدوده کانسار مس نارباغی شمالی بعد از مدل‌سازی وارون هموار، با استفاده از الگوریتم عکس مجذور فاصله وزن دار (Advanced inverse distance weighted (IDW)) پیش‌رفته در نرم‌افزار Rockworks ترسیم شده است. در این الگوریتم امکان وزن دهنی فاصله با توان متفاوت در جهات مختلف وجود دارد. مطابق شکل (الف) میزان مقاومت ویژه در اغلب نقاط محدوده مورد مطالعه کمتر از ۵۰۰ اهم‌متر است. در شمالی‌ترین بخش مرکزی نیمه شمالی محدوده و در محدوده کوچکی در جنوبی‌ترین بخش مرکزی نیمه جنوبی منطقه، مقاومت ویژه، بسیار بالا و بیش از ۱۲۵۰ اهم‌متر است. زیاد بودن مقاومت ویژه در ارتباط با حضور کانی‌ها و سنگ‌های غیرهادی همانند سیلیس و محیط‌های عایق است که در آنها هیچ گونه ماده معدنی فلزی هادی وجود نخواهد داشت. بطورکلی کاهش زیاد مقاومت ویژه ناشی از حضور محدوده‌های دگرسانی، لایه‌ها، عدسی‌ها و پاکت‌های رسی دانه ریز مرتبط، سفره‌های آب زیرزمینی و نیز توده‌های کانساری سولفیدی فلزی هادی (همانند پیریت، کالکوپیریت، سولفیدهای مس و غیره) می‌باشد. با توجه به شکل (ب) مشاهده می‌شود که مقدار بارپذیری تقریباً در یک سوم کل سطح محدوده مورد مطالعه، بیش از ۱۸ میلی ولت ثانیه بر ولت است. عمدۀ محدوده‌های دارای بارپذیری زیاد منطقه، در بخش جنوبی نیمه شرقی محدوده و در یک محدوده کوچک در بخش جنوب غربی محدوده واقعند که تا اعمق نیز گسترش دارند. افزایش بارپذیری می‌تواند ناشی از حضور توده‌های فلزی هادی و یا لایه‌ها و توده‌های رسی مرتبط باشد. بنابراین با توجه به این شکل احتمال حضور توده‌های کانساری فلزی هادی از نوع مس در بخش جنوبی نیمه شرقی محدوده زیاد است.

با توجه به شکل (ج) مشاهده می‌شود که مقدار فاکتور فلزی تنها در بخش مرکزی نیمه شرقی محدوده مورد مطالعه، نسبتاً

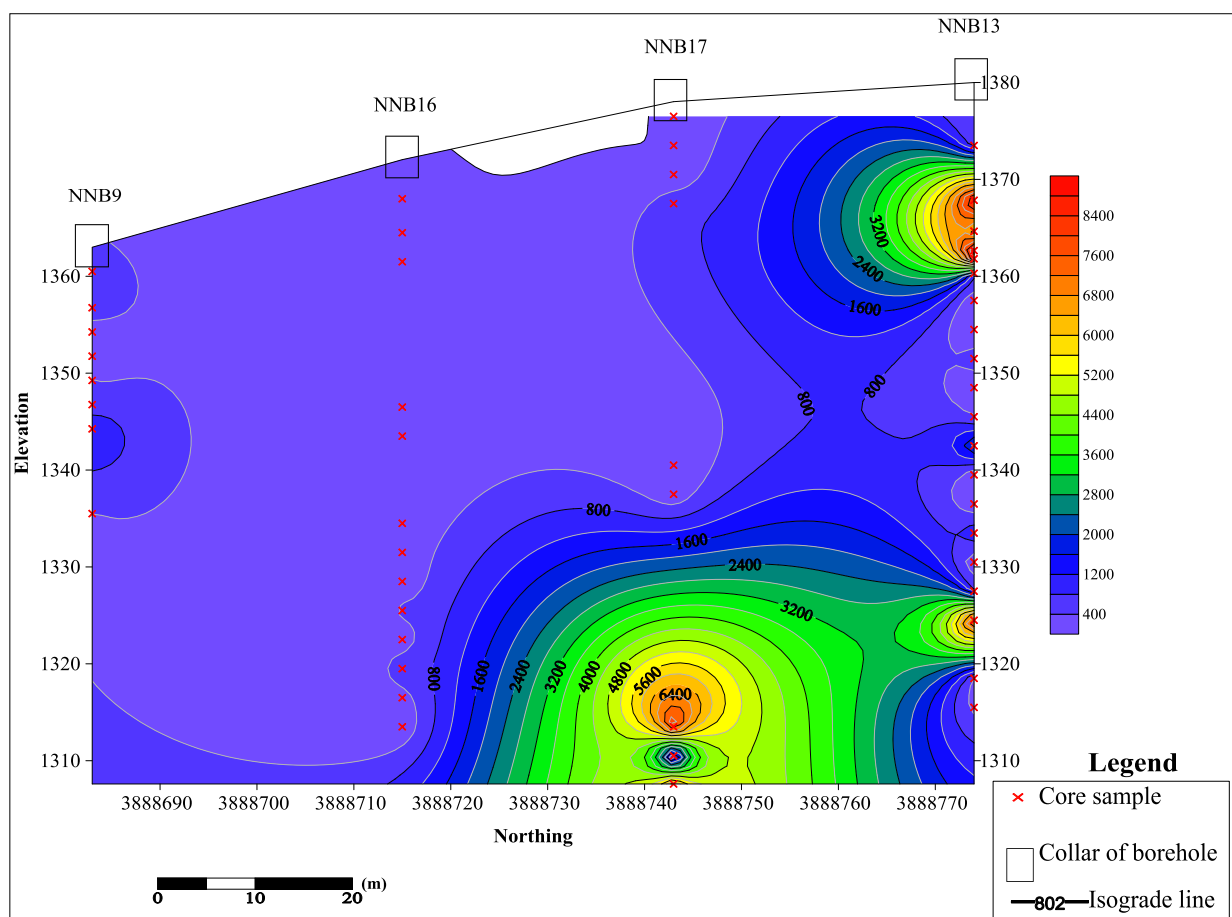


شکل ۱۵. مدل شبیه سه بعدی (جامد) تغییرات (A) مقاومت ویژه، (B) بارپذیری و (C) فاکتور فلزی بعد از مدل‌سازی وارون هموار در محدوده کانسار مس نارباغی شمالی (جهت شمال در راستای محور Y).

روی هر پروفیل دست کم یک موقعیت مناسب حفاری، پیشنهاد شده است.

به منظور ارزیابی نتایج عملیات برداشت ژئوفیزیکی از طریق میزان تطابق کیفی آنها با داده های عیار سنجی عملیات حفاری، چاهنگار (Strip Log) تعدادی از مهم ترین گمانه های حفاری شده منطبق بر پروفیل های ژئو الکتریک، بطور مجزا نیز مورد بررسی قرار گرفته است.

بر روی پروفیل ژئوفیزیکی P7 نیز پنج گمانه NNB2، NNB7، NNB16، NNB9 و NNB19 حفاری شده است ولی حفر هیچ یک از گمانه های عمیق مذکور، براساس نتایج عملیات ژئوفیزیک و بصورت هدف مند صورت نگرفته و اغلب گمانه های مذکور حتی با یک متر ماده معدنی نیز برخورد ندارند. گفتنی است که بر روی بعضی از پروفیل های ژئوفیزیکی دیگر، هیچ گمانه ای حفاری نشده است؛ حال آنکه براساس تفسیر مقاطع ژئوفیزیکی مدل سازی شده آنها، بر

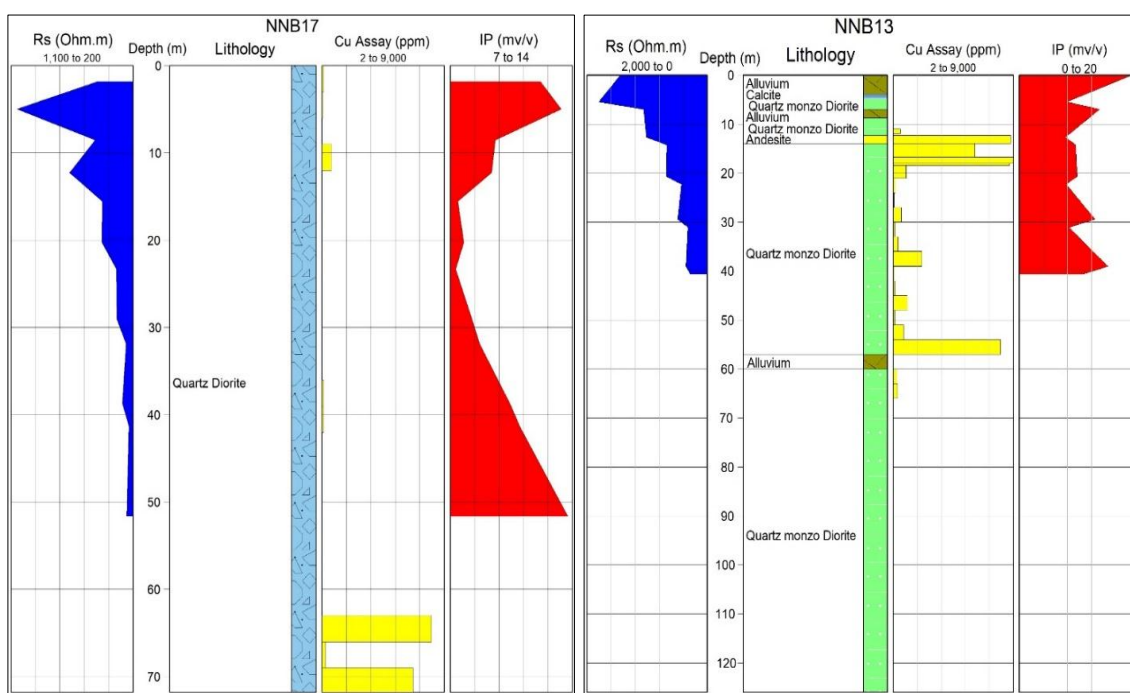


شکل ۱۶. نقشه هم عیار گمانه های حفر شده منطبق بر پروفیل ژئوفیزیکی P3 در منطقه نارباغی شمالی.

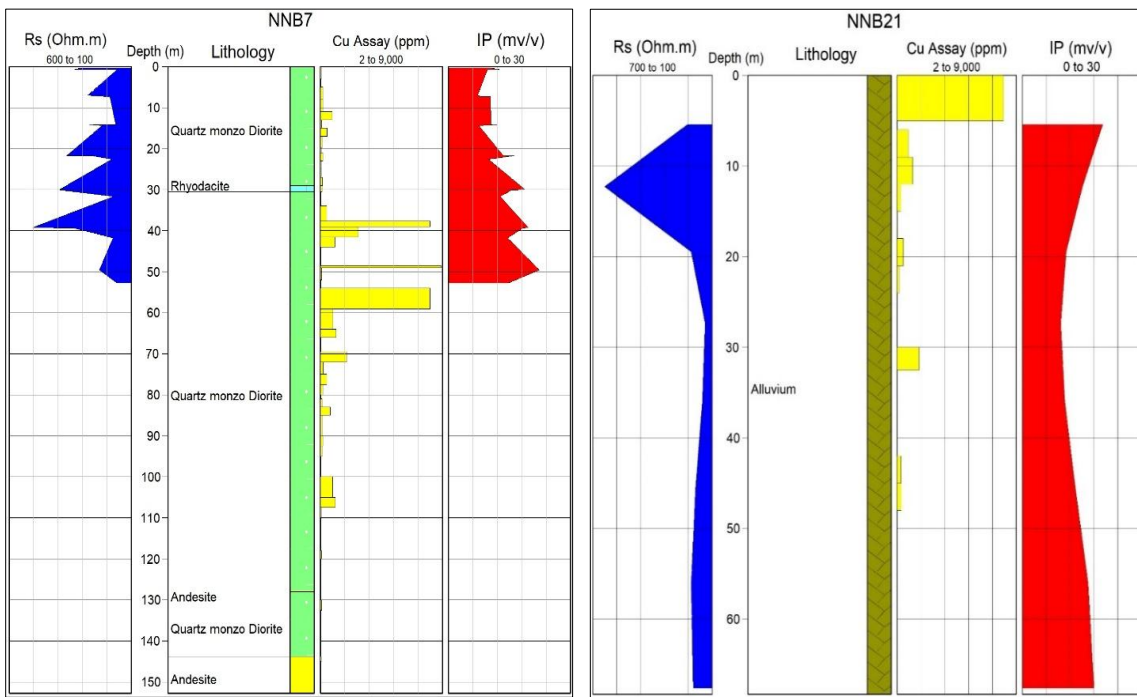
نتیجه انطباق خوبی بین داده‌های عیارسنجدی و ژئوالکتریک وجود ندارد. در بخش‌های عمقی این گمانه، عیار ماده معدنی بالاست ولی در این اعماق اطلاعاتی از مقادیر Rs و IP موجود نیست.

در گمانه NNB21 ضخامت آبرفت بسیار زیاد است. در این گمانه از عمق ۵ تا ۷۰ متری (انتهای گمانه) مقدار Rs نسبتاً پایین و مقدار IP بالاست حال آنکه در این بازه عمقی، عیار ماده معدنی چندان مطلوب نیست که احتمالاً این امر در ارتباط با جنس سنگ (لیتولوژی) این گمانه می‌باشد؛ به عبارت دیگر در این مورد تطابق کیفی چندانی بین داده‌های عیارسنجدی و ژئوالکتریک وجود ندارد. در گمانه NNB7 تا عمق ۵۲ متری که اطلاعات IP و Rs در دست می‌باشد، تطابق کیفی پایینی بین داده‌های عیارسنجدی و ژئوالکتریک وجود دارد. در اعماق بیشتر (بازه عمقی ۵۴ تا ۱۰۸ متری) عیار ماده معدنی قدری افزایش می‌یابد ولی داده‌های ژئوالکتریک در دسترس نمی‌باشند. در این گمانه ماده معدنی عمدهاً در سنگ از جنس کوارتزمونزودیوریتی تشکیل شده است.

برای این منظور چهار گمانه NNB13، NNB17، NNB21 و NNB7 که بطور مشخص با ماده معدنی برخورد نموده‌اند، برای بررسی دقیق‌تر انتخاب شده و در شکل ۱۷ (الف و ب) نگار آنها با استفاده از نرم‌افزار Rockworks ترسیم شده است. در این شکل نگار گمانه‌ها از چپ به راست شامل منحنی تغییرات عمقی مقاومت ویژه (با رنگ آبی و افزایش از راست به چپ)، ستون لیتولوژی (سنگشناسی)، هیستوگرام تغییرات عمقی عیارسنجدی مس (با رنگ زرد) و منحنی تغییرات عمقی بارپذیری (با رنگ قرمز و افزایش از چپ به راست) ترسیم شده است. مطابق این شکل بخش عمده گمانه NNB13 از جنس کوارتزمونزودیوریت تشکیل شده و از عمق ۱۰ تا ۶۵ متری عیار ماده معدنی نسبتاً بالاست. در این گمانه تا عمق ۴۰ متری که اطلاعات IP و Rs در دست می‌باشد، مقدار IP بالا، Rs نسبتاً کم و عیارسنجدی مطلوب است؛ به عبارت دیگر تا این عمق تطابق کیفی خوبی بین داده‌های عیارسنجدی و ژئوالکتریک وجود دارد. گمانه NNB17 تماماً از جنس کوارتزدیوریت است و از دهانه این گمانه تا عمق ۵۲ متری که اندازه‌گیری‌های ژئوالکتریک در دسترس نمی‌باشد، بجز در یک فاصله عمقی ۳ متری، ماده معدنی وجود نداشته و در



شکل ۱۷.الف- نمایش نگار مقاومت ویژه، لیتولوژی، هیستوگرام عیارسنجدی مس و بارپذیری گمانه‌های NNB13، NNB17.



شکل ۱۷. ب- نمایش نگار مقاومت ویژه، لیتو لوژی، هیستوگرام عیارسنجدی مس و بارپذیری گمانه‌های NNB21 و NNB7.

کاملی از کانسار مورد مطالعه صورت گیرد و درنتیجه گامی رو به جلو در راستای اکتشاف بیشتر این کانسار برداشته شود. نتایج حاصل از فعالیت‌های انجام شده در این پژوهش را می‌توان به- صورت زیر خلاصه نمود. بررسی وضعیت پراکنده‌گی گمانه‌های اکتشافی حفر شده در منطقه نشان می‌دهد که بیشتر گمانه‌ها در محدوده با شدت میدان مغناطیسی متوسط، حفاری شده‌اند و فقط تعداد اندکی از آنها بر روی پروفیل‌های ژئوالکتریکی P3، P5 و P7، منطبق بوده یا در نزدیکی آنها قرار دارند؛ حال آنکه براساس تفسیر مقاطع ژئوفیزیکی مدل‌سازی شده، بر روی هر پروفیل حداقل یک موقعیت مناسب حفاری، پیشنهاد شده است. همچنین با وجود اطلاعات زمین شناسی و عیارسنجدی مس در گمانه‌ها و نیز اطلاعات ژئوفیزیکی عمقی (بویژه ژئوالکتریک) در موقعیت این گمانه‌ها، نتایج مطالعات ژئوفیزیکی با واقعیت زمین (داده‌های عیارسنجدی) بررسی شد و میزان اعتبار آنها ارزیابی گردید. بر اساس ترسیم مقطع ماده معدنی منطبق بر پروفیل‌های ژئوفیزیکی P3، P4 و P7 با استفاده از داده‌های عیارسنجدی مشخص شد که حفاری برخی از گمانه‌های منطبق

مقایسه اطلاعات اکتشافی موجود در این چهار گمانه یعنی نتایج عملیات حفاری (داده‌های عیارسنجدی مس) و نتایج برداشت‌های ژئوالکتریک (داده‌های مقاومت ویژه و قطبیش القایی) نشان می‌دهد که به طورکلی بین این داده‌ها تطابق کیفی متوسطی وجود دارد. همچنین در بخش‌های سطحی (اعماق کم تا زیر ۱۰ متر) انطباق چندانی بین داده‌های مذکور وجود ندارد که این امر ناشی از تاثیر نوفه‌های سطحی (خاک‌های رسی مرطوب و لاشه‌های هوازده سطحی) بر روی برداشت‌های ژئوالکتریک است.

۵. نتیجه‌گیری

در پژوهش حاضر پردازش، مدل‌سازی، تجزیه و تحلیل داده‌ها و تفسیر نتایج برداشت‌های ژئوفیزیکی کانسار مس پورفیری ناریاغی شمالی ساوه صورت گرفت و سعی شد تا از تمام اطلاعات زمین شناسی و داده‌های اکتشافی موجود، نهایت استفاده را به عمل آورده، ضمن ارزیابی عملکرد روش‌های اکتشاف غیرمستقیم (اکتشافات ژئوفیزیکی) و تعیین میزان ارتباط آنها با نتایج عملیات اکتشاف مستقیم (عملیات حفاری)، شناخت

گمانه مایل با زاویه شیب 70° درجه به سمت شمال در راستای پروفیل تا عمق 70 متری در موقعیت با طول جغرافیایی 459000 شرقی و عرض جغرافیایی 3888783 شمالی بر روی پروفیل P5، یک گمانه مایل در موقعیت با زاویه شیب 80° درجه به سمت شرق تا عمق حداقل 50 متری با طول جغرافیایی 459370 شرقی و عرض جغرافیایی 388710 شمالی و یک گمانه قائم در موقعیت تا عمق حداقل 40 متری با طول جغرافیایی 459430 شرقی و عرض جغرافیایی 388720 شمالی بر روی پروفیل P7 به منظور دست‌یابی به اطلاعات اکشافی تکمیلی، حفاری گردند و از داده‌های عیارسنجدی مغزه‌های حفاری جدید در مراحل مختلف تجزیه و تحلیل و پردازش، استفاده شود. البته بر روی هر پروفیل ژئوفیزیکی دیگر نیز براساس تفسیر شبے مقاطع ژئوفیزیکی مدل‌سازی شده آنها، دست کم یک موقعیت مناسب حفاری، پیشنهاد شده که مشخصات آنها در اینجا آورده نشده اند. همچنین برای دست یابی به اهداف و نتایج درست در مورد کانسارهای فلزی مشابه که از پیچیدگی‌های زمین شناسی زیاد برخوردار بوده و به انواع نوفه‌ها آسوده می‌باشند، کاهش تا حد ممکن نوفه از داده‌های ژئوفیزیکی با استفاده از روش‌های درست (نظیر انتخاب مناسب آرایه الکترودی مثلاً در پاره‌ای موارد آرایه قطبی - دوقطبی بجای آرایه دوقطبی - دوقطبی، اندازه گیری قطبش القایی در دامنه فرکانس، برداشت سه بعدی داده‌های ژئوالکتریک، استفاده از روش‌های دقیق‌تر وارون سازی داده‌های بارپذیری و مقاومت ویژه)، قبل از هرگونه تصمیم صورت گیرد.

بر این پروفیل‌ها براساس نتایج عملیات ژئوفیزیکی نبوده و بدون هیچ‌گونه منطق، هدف و طراحی درستی صورت گرفته و فقد ماده معدنی می‌باشد. در ادامه، ارزیابی نتایج عملیات برداشت ژئوفیزیکی از طریق میزان تطابق کیفی آنها با داده‌های عیارسنجدی عملیات حفاری، با استفاده از بررسی دقیق نگار تعدادی از مهم‌ترین گمانه‌های حفاری شده منطبق بر پروفیل‌های ژئوالکتریک، که بطور مشخص با ماده معدنی نیز برخورد نموده‌اند، نشان داد که به طور کلی بین این داده‌ها، تطابق کیفی متوسط وجود دارد. همچنین در بخش‌های سطحی (اعماق کم تا زیر 10 متر) انتباط چندانی بین داده‌های مذکور وجود ندارد که این امر ناشی از تاثیر نوفه‌های سطحی بر روی برداشت‌های ژئوالکتریک است. بنابراین به منظور اکتشاف اصولی این کانسار پیشنهاد می‌شود که گمانه‌های اکشافی جدید پیشنهادی بر اساس نتایج مقاطع وارون سازی شده ژئوالکتریک همانند یک چال قائم تا عمق حداقل 10 متر در موقعیت با طول جغرافیایی 459470 شرقی و عرض جغرافیایی 388602 شمالی و یک گمانه قائم تا عمق 50 متر در موقعیت با طول جغرافیایی 459478 شرقی و عرض جغرافیایی 388658 شمالی بر روی پروفیل P1 یک گمانه قائم تا عمق 50 متر در موقعیت با طول جغرافیایی 459165 شرقی و عرض جغرافیایی 3888594 شمالی و یک گمانه مایل با شیب 50° درجه به سمت شمال در راستای پروفیل 65 متری در موقعیت با طول جغرافیایی 459165 شرقی و عرض جغرافیایی 3888654 شمالی بر روی پروفیل P3 یک گمانه قائم تا عمق 50 متری در موقعیت با طول جغرافیایی 459100 شرقی و عرض جغرافیایی 3888780 شمالی بر روی پروفیل P4، یک

منابع

- احمدی، ر.، اسدی، ا.، جلالی، م.، ۱۳۸۶. ارزیابی و تجزیه و تحلیل کارآبی اکتشافات ژئوفیزیکی انجام شده در کانسار مس علی‌آباد یزد، بیست و ششمین گردهمایی علوم زمین، سازمان زمین‌شناسی و اکتشافات معدنی کشور، تهران.
- احمدی، ر.، کریمی، ا.، افضلی، ن.، ۱۳۹۴. اعتبارسنجی اکتشافات ژئوفیزیکی انجام شده در کانسار مس دره زرشک یزد با استفاده از داده‌های عیارسنجی عملیات حفاری، نوزدهمین همایش انجمن زمین‌شناسی ایران و نهمین همایش ملی زمین‌شناسی دانشگاه پیام نور، تهران.
- افضلی، ن.، ۱۳۹۵. مدل‌سازی کانسارهای سرب و روی ریباط و حسین آباد خمین با استفاده از تلفیق داده‌های اکتشافی ژئوفیزیکی، لیتوژوژی و عیارسنجی، پایان نامه کارشناسی ارشد، گروه مهندسی معدن دانشگاه صنعتی اراک.
- پیچاب کانسار، مهندسین مشاور، ۱۳۹۴. گزارش پایانی عملیات اکتشافی در محدوده کانسار مس ناریاباغی شمالی، ۳۵۶ ص.
- عادلپور، م.، رسae، ا.، مسعودی، ف.، حسینی، م.، ۱۳۹۵. تعیین مناطق کائی‌سازی با استفاده از پردازش داده‌های قطبش القایی و مقاومت ویژه الکتریکی در کانسار مس گرماب (خراسان جنوبی)، مجله زمین‌شناسی اقتصادی، جلد ۸، شماره ۱، ۱۴۶-۱۲۹.
- کریم پور، م.ح.، سعادت، س.، ۱۳۹۶. زمین‌شناسی اقتصادی کاربردی، دانشگاه فردوسی مشهد، انتشارات ارسلان، ۵۳۶ ص.
- کلاگری، ع.ا.، ۱۳۸۹. اصول اکتشافات ژئوفیزیکی، ناشر: مولف، تبریز، ۴۸۵ ص.
- نوروزی، غ.ح.، غلامی، س.، ۱۳۸۴. تحلیل و مدل‌سازی داده‌های ژئوفیزیکی (IP, Rs, M) در محل اندیس معدن سوناجیل، نشریه دانشکده فنی، شماره ۲، جلد ۳۹، ۲۶۵-۲۵۳.
- يعقوبی‌تبار، ب.، عرب امیری، ع.ر.، کامکار روحانی، ا.، ابراهیمی، س.، ۱۳۹۲. اکتشاف کانسار مس در منطقه ابراهیم آباد میامی با استفاده از روش -های مقاومت ویژه و پلاریزاسیون القایی، مجموعه مقالات اولین کنفرانس ملی مهندسی اکتشاف منابع زیرزمینی، دانشگاه شاهروд.
- Alilou, S.K., Norouzi, G.H., Doulati, F., Abedi, M., 2014. Application of magnetometry, electrical resistivity and induced polarization for exploration of polymetal deposits, a case study: Halab Dandi, Zanjan, Iran, 2nd international Conference on Advances in Engineering Sciences and Applied Mathematics (ICAEAM), May 4-5, Istanbul (Turkey).
- Bery, A.A., Saad, R., Mohamad, E.T., Jinmin, M., Azwin, I.N., Tan, N.M., Nordiana, M.M., 2012. Electrical resistivity and induced polarization data correlation with conductivity for iron ore exploration, Electronic Journal of Geotechnical Engineering, 17: 3323-3337.
- Claerbout, J.F., 1985. Fundamentals of geophysical data processing with applications to petroleum prospecting, Blackwell Scientific Publications, 284 p.
- Gupta, V.K., Ramani, N., 1980. Some aspects of regional-residual separation of gravity anomalies in a Precambrian, Geophysics, 45: 1412-1426.
- Holliday, J.R., Cooke, D.R., 2007. Advances in geological models and exploration methods for copper ± gold porphyry deposits, ore deposits and exploration technology, paper 53, Fifth Decennial International Conference on Mineral Exploration, edited by B. Milkereit, 791-809.
- [Http://www.rockware.com/Rockworks16](http://www.rockware.com/Rockworks16)
- [Https://wiki.seg.org/wiki/Dictionary:Metal_factor_\(MF\)](https://wiki.seg.org/wiki/Dictionary:Metal_factor_(MF))
- Keary, Ph., Brooks, M., Hill, I., 2002. An introduction to geophysical exploration, Third edition, Blackwell Science, 281 p.
- Kellogg, O.D., 2010. Foundations of potential theory, Dover Publications, 400 p.
- Loke, M.H., 1999. Electrical imaging surveys for environmental and engineering studies: Practical Guide to 2-D and 3-D Surveys, 66 p.
- Loke, M.H., 2000. Topographic modelling in resistivity imaging inversion, 62nd EAGE Conference & Technical Exhibition Extended Abstracts, D-2.
- Loke, M.H., Barker, R.D., 1996. Rapid least-squares inversion of apparent resistivity pseudo-sections by a Quasi-Newton method, Geophysical Prospecting, 44: 131-152.
- Loke, M.H., Lane, J., 2002. The use of constraints in 2D and 3D resistivity modeling, The 8th EEGS-ES Meeting, Portugal.
- Milsom, J., 2003. Field Geophysics, Third edition, John Wiley & Sons Ltd, 249 p.
- Reynolds, J.M., 2011. An introduction to applied and environmental geophysics, Second edition, Reynolds

Geo-Sciences, 710 p.

Saad, R., Mohamad, S., Adli, I., 2012, 2-D resistivity and induced polarization (IP) methods for iron ore exploration, Electronic Journal of Geotechnical Engineering, 17: 2973-2979.

Zeng, H., Xu, D., Tan, T., 2007. A model study for estimating optimum upward-continuation height for gravity separation with application to a Bouguer gravity anomaly over a mineral deposit, Jilin province, northeast China, Journal of Geophysics, 72: 145-150.